



## ارائه یک الگوریتم جدید با ترکیب و بهبود روش‌های حریصانه و وزن دهی هزینه‌ها برای حل مسائل متنوع تخصیص افزونه

مظاهر ضیایی<sup>۱\*</sup>، فضل اله حجتی<sup>۲</sup>

۱. هیئت علمی، پژوهشگاه فضایی ایران، پژوهشکده مواد و انرژی اصفهان، ایران.  
۲. کارشناسی ارشد مهندسی صنایع، پژوهشگاه فضایی ایران، پژوهشکده مواد و انرژی اصفهان، ایران.

### خلاصه

به دلیل اهمیت موضوع قابلیت اطمینان و نقش کلیدی آن در عملکرد سیستم‌ها و میزان و ابعاد هزینه‌های آن، بهینه‌سازی قابلیت اطمینان بخصوص مسائل تخصیص افزونه (RAP) در کانون توجه طراحان قرار گرفته است. از آنجاکه مسائل RAP بسیار متنوع و از نوع NP-hard هستند، بنابراین برای حل هر دسته از آن‌ها روش‌های مختلفی به کار گرفته شده است که اغلب طیف محدودی از این مسائل را پوشش می‌دهند. در این مقاله یک الگوریتم جدید ارائه می‌شود که با انجام برخی بهبودهای ابتکاری بر روی روش‌های حریصانه و وزن دهی هزینه‌ها، آن‌ها را به گونه‌ای تلفیق می‌کند که برای حل انواع مسائل RAP با پیکربندی‌های مختلف، تنوع در قطعات و انواع استراتژی افزونگی قابل به کارگیری باشد. به کارگیری یک روش نو در وزن دهی به هزینه‌ها، استفاده از یک شاخص حریصانه ابتکاری و مکانیزم خاص جستجو در این الگوریتم باعث افزایش سرعت، دقت و انعطاف آن در حل انواع مسائل RAP می‌شود. قابلیت‌های الگوریتم از طریق حل چند مسئله، با پیکربندی متنوع و شرایط مختلف که بعضاً فضاهای جواب بسیار بزرگی دارند نشان داده می‌شود. نتایج مبین این است که الگوریتم، قادر به حل مسائل متنوع می‌باشد و جواب‌های برابر یا بسیار نزدیک به جواب بهینه یا بهترین جواب‌های موجود را در زمان کوتاه تولید می‌کند. اجرای الگوریتم به دلیل منطق عملی و ملموسی که دارد می‌تواند بینش عملیاتی طراحان را توسعه دهد.

### اطلاعات مقاله

تاریخچه مقاله:

دریافت ۱۳۹۵/۰۵/۲۰

پذیرش ۱۳۹۶/۱۰/۲۰

کلمات کلیدی:

بهینه‌سازی قابلیت اطمینان

تخصیص افزونه

سیستم پل

سیستم سری-موازی

### ۱- مقدمه

مهم‌ترین شاخص‌ها، در طراحی و مهندسی تبدیل کرده است؛ اما مسائل بهینه‌سازی قابلیت اطمینان بسیار پیچیده می‌باشند. زیرا اولاً تنوع روش‌های افزایش قابلیت اطمینان بسیار زیاد است و اغلب هر کدام راه حل خاص خود را می‌طلبد. ثانیاً پیکربندی و الزامات فنی سیستم‌ها نیز بسیار متفاوت است. ثالثاً ماهیت احتمالی و نوع روابط بین متغیرها به گونه‌ای است که شامل توابع پیچیده و بزرگی است. طبیعتاً اهداف و محدودیت‌های یک مسئله قابلیت اطمینان نیز در شرایط مختلف متفاوت است.

قابلیت اطمینان هر سیستم به قابلیت اطمینان اجزاء آن از یک سو و نحوه ارتباط اجزاء با یکدیگر (پیکربندی سیستم) از سوی دیگر وابسته است. از دیدگاه قابلیت اطمینان، انواع پیکربندی‌های

قابلیت اطمینان در صنایع حساس همچون صنایع نظامی و فضایی، به دلایل گزاف بودن هزینه‌های این بخش، تبعات سنگین شکست مأموریت‌ها، زمان بر بودن پروژه‌ها و محدود بودن تولیدات، دارای اهمیت زیادی است. مضاف بر این وابستگی زندگی روزمره بشر به عملکرد صحیح بسیاری از سیستم‌های بزرگ و پیچیده مانند سیستم‌های تولید و توزیع برق، کنترل ترافیک، سیستم‌های ماهواره‌ای، اینترنت و...، تئوری قابلیت اطمینان را به یکی از

\* نویسنده مسئول: مظاهر ضیایی

تلفن: ۰۳۱-۳۳۲۲۲۴۲۹؛ پست الکترونیکی: m.ziaei@isrc.ac.ir

استفاده کرد. کومار، چاترودی و پهوجا [۱۴] نتایج تحقیق خود را با عنوان «روشی ابتکاری برای تخصیص افزونگی در سیستم‌های پیچیده» منتشر کردند. آن‌ها موضوع تخصیص افزونگی را در سیستم‌های پیچیده که شبکه‌های پل را شامل می‌شد بررسی کردند. این الگوریتم قادر به حل مسائل تخصیص افزونگی شبکه‌های پل با سرعت قابل قبولی بود. کائو، مورات و چاینام [۲۳]، در حل مسئله‌ی تخصیص افزونگی با پیکربندی سری-موازی آن را به‌عنوان یک مسئله‌ی چندهدفه در نظر گرفتند. از این‌رو مسئله‌ی اصلی را به چندین زیر مسئله‌ی چندهدفه تجزیه کرده و زیر مسائل را حل کردند و سپس به‌صورت سیستماتیک راه‌حل‌ها را ترکیب نمودند. روش مبتنی بر تجزیه می‌تواند تمامی راه‌حل‌های پارتو بهینه را برای مسئله‌ی تخصیص افزونگی ایجاد کند. نتایج آزمایشی نیز نشان داده است که این متد پیشنهادی، نسبت به متدهای ابتکاری و فراابتکاری دارای عملکرد بهتری از نظر تولید جواب بهینه بوده است اما از مدت‌زمان حل مسئله صحبتی به میان نیامده است. از سویی پیچیدگی روش ارائه شده نیز قابل تأمل است. گارگ، رانی و شارما [۲۴] یک رویکرد دوفازی برای حل مسائل تخصیص افزونگی با پیکربندی‌های سری، سری-موازی و پل با محدودیت منابع غیرخطی ارائه کردند که در مرحله اول با استفاده از یک الگوریتم بر اساس کلونی زنبور مصنوعی اقدام به حل مسئله تخصیص می‌کرد و در مرحله دوم به بهبود جواب حاصل از این الگوریتم می‌پرداخت. گارگ [۲۵] در سال ۲۰۱۵، در تحقیقی دیگر به کمک الگوریتمی مبتنی بر جستجوی فاخته به بهینه‌یابی قابلیت اطمینان در مسائل متنوع تخصیص افزونگی با محدودیت منابع غیرخطی پرداخت. ابویی اردکان و زینال همدانی [۲۶] برای حل مسائل تخصیص افزونه با پیکربندی سری-موازی از الگوریتم ژنتیک استفاده کردند. لیو و کین [۲۷] و هانگ [۲۸] از روش ازدحام ذرات برای حل مسائل RAP استفاده کردند و برای نشان دادن قدرت الگوریتم ارائه‌شده مسائلی با پیکربندی سری، سری-موازی و پل را حل نمودند. کونگ، گائو، اوپانگ و لای [۲۹]، نیز از روشی بر پایه ازدحام ذرات برای حل مسائل RAP با پیکربندی سری-موازی استفاده کردند. زنگ و چن [۳۰] مسئله‌ی تخصیص افزونگی را به‌عنوان یک مسئله بهینه‌سازی چندهدفه در نظر گرفتند که در آن قابلیت اطمینان سیستم و هزینه به‌طور هم‌زمان منظور گردیده و فرموله می‌شد. توابع هدف شامل دو تابع به‌صورت حداکثر قابلیت اطمینان و حداقل هزینه بودند. آن‌ها در این پژوهش الگوریتمی با چرخه تکرار ۵۰ بار، بر مبنای بهینه‌سازی ازدحام ذرات ارائه کردند که قادر به حل مسائل بهینه‌سازی چندهدفه مذکور بود. فیض‌آبادی و جهرمی [۳۱] در بحث‌های مربوط به بهینه‌سازی قابلیت اطمینان با استفاده از تخصیص افزونگی، ساختار سری-موازی را مورد بررسی قرار دادند. آن‌ها بیان کردند که در بسیاری از مدل‌های پیشین برای بهینه‌سازی قابلیت اطمینان سیستم‌های سری-موازی با استفاده از تخصیص مازاد، اجزاء مازاد مورد استفاده یکسان فرض شده‌اند و این

سیستم‌ها به‌صورت، موازی، سری، سری-موازی، پل و سیستم‌های مختلط تقسیم می‌شوند [۱]. برای افزایش قابلیت اطمینان سیستم‌ها، دو رویکرد متداول وجود دارد: رویکرد اول، تخصیص افزونه است که به‌عنوان مسائل RAP مشهورند و رویکرد دوم، بالا بردن قابلیت اطمینان اجزا سیستم (مسائل انتخاب قطعه) است. این مقاله در مورد رویکرد RAP می‌باشد.

مسائل RAP جزو مسائل Np-hard است [۲]. لذا برای حل آن‌ها روش‌های بسیاری بکار گرفته شده است. روش‌های برنامه‌ریزی ریاضی مانند برنامه‌ریزی خطی [۳، ۴] برنامه‌ریزی عدد صحیح [۵-۷] و برنامه‌ریزی پویا [۸-۱۰]، روش‌های ابتکاری [۱۱-۱۴] و روش‌های فراابتکاری از قبیل الگوریتم ژنتیک [۱۵، ۱۶]، الگوریتم‌های مبتنی بر کلونی مورچه [۱۷، ۱۸]، جستجوی ممنوعه [۱۹]، روش‌های ترکیبی [۲۰] و... برای حل این مسائل استفاده شده است. در یک بررسی دقیق‌تر می‌توان به پژوهش‌های زیر اشاره کرد.

هسیه [۴] ضمن خطی سازی روابط مربوط به قابلیت اطمینان راهکارهایی را برای استفاده از روش‌های دقیق ریاضی برای حل مسائل RAP با پیکربندی سری-موازی ارائه کرد؛ اما با توجه به NP-hard بودن مسائل تخصیص مازاد در عمل حل مسائل با ابعاد بزرگ توسط این روش‌ها با چالش روبرو بود. کاپرال و اسمیت و کویت [۱۹] برای حل مسائل RAP با پیکربندی سری-موازی روشی مبتنی بر جستجوی ممنوعه طراحی کردند. رامیرز و کویت [۲۱] یک الگوریتم ابتکاری دومرحله‌ای برای حل مسائل تخصیص افزونه در سیستم‌های سری-موازی را باهدف حداقل کردن هزینه ارائه کردند. این الگوریتم کار را با تولید یک جواب اولیه امکان‌پذیر شروع و سپس اقدام به بهبود جواب اولیه با متد تعریف شده می‌نمود و درنهایت از بین بهترین راه‌حل‌های کشف‌شده تعداد مشخصی راه‌حل جدید که هزینه و قابلیت اطمینان برتری داشتند انتخاب می‌کرد. سپس این راه‌حل‌ها برای کشف مناطق امکان‌پذیری که به راه‌حل بهتر منجر می‌شوند استفاده شده و به‌عنوان جواب اولیه الگوریتم در نظر گرفته می‌شدند. محققان این پژوهش، روش ابتکاری خود را با الگوریتم ژنتیک مقایسه کرده و سادگی و سهولت روش ارائه‌شده را نقطه قوت آن نسبت به الگوریتم ژنتیک دانستند. کو و ون [۲۲] در سال ۲۰۰۷، مقاله‌ای تحت عنوان «پیشرفت‌های اخیر در تخصیص بهینه قابلیت اطمینان» منتشر کردند که در آن جمع‌بندی از مطالعات محققان در زمینه‌ی تخصیص بهینه قابلیت اطمینان صورت گرفت. این گزارش ضمن دسته‌بندی روش‌های حل این‌گونه مسائل به روش‌های دقیق و روش‌های غیردقیق (ابتکاری و فراابتکاری) به بررسی ضعف و قوت هر کدام پرداخته است. همچنین بیان شد، برای حل مسائل با ابعاد بزرگ و فضای جواب گسترده، روش‌های حل ابتکاری و فراابتکاری (اکتشافی و فرااکتشافی) کارآمدتر است. در این پژوهش پیشنهاد شد برای کاهش فضای جستجو، ممکن است بتوان از ترکیب دو الگوریتم فراابتکاری

۱- استفاده از یک متد نو در وزن دهی به هزینه‌ها که باهدف جستجوی دقیق‌تر جواب بهینه طراحی شده است.

۲- به‌کارگیری یک شاخص حریصانه ابتکاری که سرعت همگرایی به سمت جواب بهینه را به‌شدت زیاد می‌کند.

۳- مکانیزم خاص الگوریتم که برخلاف الگوریتم‌های متداول ارائه‌شده قبلی چرخه‌های تکرار طولانی را نداشته، بلکه چرخه الگوریتم تا زمانی که محدودیت منابع مسئله اجازه دهند ادامه داشته و در هر چرخه جواب قطعاً بهبود می‌یابد.

در حل مسائل با استفاده از این الگوریتم نیازی به تعریف و تغییر پارامترهای متنوع نیست و فقط با یک‌بار اجرای الگوریتم جواب تولید می‌شود. گرچه ماهیت الگوریتم به‌گونه‌ای است که جواب تولیدشده لزوماً جواب بهینه نیست اما در زمان‌های بسیار کوتاه جواب‌های به‌دست‌آمده برابر یا بسیار نزدیک به جواب بهینه هستند و در مواردی بهتر از بهترین جواب‌های موجود غیر بهینه می‌باشند.

مقاله با تشریح مسئله RAP و انواع آن در بخش ۲ شروع و با تشریح الگوریتم GW در بخش ۳ ادامه می‌یابد. سپس در بخش ۴ چندین مسئله‌ی آزمایشی با پیکربندی و شرایط مختلف توسط الگوریتم حل شده و با جواب الگوریتم‌های قبلی مقایسه می‌شوند. در مواردی که زمان اجرای الگوریتم‌ها گزارش شده، زمان‌ها نیز مقایسه شده‌اند. در پایان نتیجه‌گیری در بخش ۵ صورت گرفته است.

## ۲- تشریح مسئله RAP

در حالت کلی وقتی که برای بهبود قابلیت اطمینان یک سیستم، متشکل از چندین زیرسیستم، از افزونه استفاده شود، مسئله تخصیص افزونه مطرح می‌شود. برحسب پیکربندی زیرسیستم‌ها، تعداد گزینه‌ها برای هر زیرسیستم، نوع افزونه و هدف مسئله، نوع RAP متفاوت خواهد بود. بنابراین هرکدام فرمولاسیون متفاوتی دارند که ممکن است الگوریتم‌های متفاوتی برای حل آن‌ها به خدمت گرفته شود.

### ۲-۱- انواع RAP

مفروضاتی که RAP و نوع آن را مشخص می‌کنند، عبارت‌اند از:

- در بالاترین سطح سیستم،  $S$  زیرسیستم با پیکربندی مشخصی وجود دارد که افزونه‌ها به‌صورت موازی به زیرسیستم‌ها اضافه می‌شود. از متداول‌ترین پیکربندی‌ها، سری، موازی، سری-موازی و پل است.
- برای هر زیرسیستم  $i$ ، تعداد  $m_i$  گزینه‌ی مختلف برای انتخاب به‌عنوان افزونه وجود دارد. اگر  $\forall i, m_i=1$  باشد به مسئله «تک گزینه‌ای» و وقتی برای بعضی از زیرسیستم‌ها  $m_i > 1$  باشد به آن «چندگزینه‌ای» گویند.
- افزونه معمولاً به دو نوع سرد<sup>۱</sup> و گرم<sup>۲</sup> (فعال) تقسیم می‌شود.

موضوع به‌عنوان یک محدودیت، طراحان سیستم را در انتخاب قطعات و دستیابی به سطوح بالاتری از قابلیت اطمینان با مشکل مواجه می‌کند. در پژوهش مذکور یک مدل جدید بر پایه الگوریتم ژنتیک برای بهینه‌سازی قابلیت اطمینان سیستم‌های سری-موازی با اجزاء غیر همسان ارائه شد.

همان‌گونه که ملاحظه شد روش‌های ارائه‌شده برای حل انواع مسائل RAP هم شامل روش‌های دقیق برنامه‌ریزی ریاضی و هم شامل روش‌های ابتکاری و فراابتکاری است. در استفاده از روش‌های برنامه‌ریزی ریاضی معمولاً با مشکل زمان‌بر بودن حل مسئله و در نتیجه محدودیت در ابعاد مسئله مواجه هستیم [۲۲، ۲۷]. علاوه اغلب با تغییر جزئی در مفروضات و شرایط مسئله نیاز به فرمولاسیون جدید وجود دارد [۱۹]. بدین ترتیب می‌توان نتیجه‌گیری کرد، روش‌های دقیق ریاضی ارائه شده توسط محققین مختلف در حل مسائل موضوع این پژوهش هرچند از جنبه تولید جواب بهینه دقیق هستند، اما عملاً برای حل مسائل با ابعاد بزرگ کاربرد ندارند و به سبب NP-hard بودن این مسائل، حل آن‌ها با روش‌های فراابتکاری رواج بیشتری پیدا کرده است. از طرفی پیچیدگی روش‌های حل فراابتکاری متداول، نیاز به تکرار در حل، نیاز به در نظر گرفتن پارامترهای گوناگون برای حل هر مسئله و نیاز به تغییر پارامترها متناسب با هر مسئله، نقاط ضعف روش‌های فراابتکاری محسوب می‌شود. مضاف بر این روش‌های فراابتکاری ارائه‌شده عموماً بسته به نوع پیکربندی مسئله‌ی RAP طراحی‌شده‌اند و در واقع حل مسائل با پیکربندی متنوع، عموماً طراحی الگوریتم فراابتکاری متناسب با پیکربندی خود را می‌طلبد [۲۲]. بدین ترتیب ارائه متدی که این نقاط ضعف را پوشش دهد، همچنین قادر به حل انواع مسائل RAP با پیکربندی‌های متنوع باشد، ضروری است.

یک مدل ابتکاری ساده بر پایه روش حریصانه توسط ضیایی و حجتی ارائه شد که پیچیدگی‌های موجود در الگوریتم‌های فراابتکاری متداول را نداشت و در زمان کوتاهی جواب مسئله را تولید می‌کرد؛ اما این روش تنها قادر به حل مسائل بهینه‌سازی قابلیت اطمینان سیستم‌های سری تحت محدودیت بودجه بود. این روش برای حل چند مسئله‌ی «انتخاب قطعه» با پیکربندی سری که شامل انتخاب یک قطعه از بین چند قطعه تحت محدودیت هزینه بود بکار گرفته شد [۳۲]. نتایج نشان‌دهنده، تولید جواب‌هایی مساوی و یا بسیار نزدیک به بهترین جواب‌های دیگران [۳۳] در زمان‌های بسیار کوتاه‌تر بود.

در این مقاله با تلفیق روش حریصانه و روش وزن دهی هزینه‌ها یک الگوریتم ابتکاری با منطقی ساده ارائه می‌شود که انعطاف بسیار زیادی را برای حل مسائل با پیکربندی متنوع دارد. این الگوریتم به سه دلیل عمده، دقت و سرعت بسیار بالایی در همگرایی به سمت جواب بهینه داشته که عبارت‌اند از:

1. Could  
2. Warm/Active

$$\sum_{i=1}^s \sum_{j=1}^{m_i} c_{ij} x_{ij} + c_{swij} Tr(x_{ij}) \leq C \quad (2)$$

$$\sum_{i=1}^s \sum_{j=1}^{m_i} w_{ij} x_{ij} + w_{swij} Tr(x_{ij}) \leq W \quad (3)$$

$$K_i \leq \sum_{j=1}^{m_i} x_{ij} \leq n_{max_i} \quad i = 1, \dots, S \quad (4)$$

$$x_{ij} \in \{0, 1, \dots, n_{max_i}\} \quad i = 1, 2, \dots, S, \quad j = 1, \dots, m_i \quad (5)$$

در رابطه (۱)  $R(t, x)$  بیانگر مقدار قابلیت اطمینان کل سیستم بوده و هدف حداکثر سازی آن است. این مقدار تحت تأثیر پیکربندی، سیاست افزونگی، تعداد افزونه‌ها و تابع توزیع شکست قطعات و زمان است. در این رابطه  $t$  زمان کارکرد سیستم و  $x$  بردار  $x_{ij}$  است که متغیرهای تصمیم و عدد صحیح می‌باشد. روابط (۲) و (۳) محدودیت بر روی هزینه و وزن را نشان می‌دهند. رابطه (۴) حداقل و حداکثر تعداد مجاز جزء برای هر زیرسیستم را بیان می‌کند.

وقتی که افزونه سرد مطرح نباشد و یا هزینه و وزن آن قابل صرف نظر کردن باشد، دو رابطه‌ی (۲) و (۳) ساده‌تر شده به صورت روابط (۶) و (۷) درمی‌آیند.

$$\sum_{i=1}^s \sum_{j=1}^{m_i} c_{ij} x_{ij} \leq C \quad (6)$$

$$\sum_{i=1}^s \sum_{j=1}^{m_i} w_{ij} x_{ij} \leq W \quad (7)$$

در روابط (۶) و (۷) اگر تنها یک گزینه برای افزونه وجود داشته باشد، یعنی RAP از نوع تک گزینه‌ای باشد، روابط باهم ساده‌تر شده و به صورت روابط (۸) و (۹) خواهند بود.

$$\sum_{i=1}^s n_i c_i \leq C \quad (8)$$

$$\sum_{i=1}^s n_i w_i \leq W \quad (9)$$

که در آن  $n_i$  تعداد جزء انتخاب شده برای زیرسیستم  $i$  است. در ادامه برای هر مسئله آزمایشی برحسب شرایط آن، تابع هدف به صورت صریح تعیین و کل فرمولاسیون مشخص و الگوریتم پیشنهادی این پژوهش بر روی آن اجرا می‌شود.

### ۳- الگوریتم GW

الگوریتم پیشنهادی GW ترکیبی از دو روش حریمانه و روش وزن دهی هزینه‌ها است. روش حریمانه که عموماً در مسائل بهینه‌سازی کاربرد دارد، بر این منطق استوار است که در هر نقطه‌ی تصمیم، تصمیمی که بر مبنای معیاری معین بهترین یا بهینه‌ترین به نظر می‌رسد را بدون توجه به انتخاب‌هایی که قبلاً انجام شده یا در آینده انجام خواهد شد برمی‌گزیند، با این امید که با تکیه بر انتخاب‌های بهینه در هر مرحله، یک حل بهینه سرتاسری یافت شود [۳۵].

نوع افزونه ممکن است به الزامات فنی و قطعات مربوط باشد و در مواردی ممکن است انتخاب نوع آن جزء مسئله باشد. به‌کارگیری افزونه به هر نوعی که باشد، هزینه و قابلیت اطمینان سوئیچینگ را مطرح می‌کند.

– برای عملکرد موفق زیرسیستم  $i$  لازم است حداقل تعداد  $K_i$  قطعه در حال کار باشند. اگر برای بعضی از زیرسیستم‌ها  $K_i > 1$  باشد به آن مسئله « $k$  از  $n$ » گویند.

– ممکن است برای زیرسیستم‌ها انتخاب قطعات متفاوت، مجاز یا غیرمجاز باشد. حالتی که قطعات هر زیرسیستم باید یکسان باشند به آن «افزونه یکسان» و حالتی که اختلاط قطعات مجاز باشد را «افزونه غیر یکسان» گویند.

– در RAP اغلب فرض می‌شود که تعداد قطعات در دسترس نامحدودند، خرابی یک قطعه به سیستم صدمه نمی‌زند و قطعات قابل تعمیر نیستند.

### ۲-۲- بیان ریاضی مسئله RAP

نمادهای به کار گرفته شده برای بیان ریاضی مسائل RAP در زیر معرفی شده‌اند.

$i$ :	اندیس زیرسیستم $i = \{1, 2, \dots, S\}$
$S$ :	تعداد زیرسیستم‌های سیستم
$j$ :	اندیس گزینه‌های موجود $j = \{1, 2, \dots, m_i\}$
$m_i$ :	تعداد گزینه‌های موجود برای زیرسیستم $i$ ام
$t$ :	زمان کارکرد سیستم
$x_{ij}$ :	تعداد انتخاب شده از جزء $j$ ام برای زیرسیستم $i$
$w_{ij}$ :	وزن گزینه $j$ ام مورد استفاده برای زیرسیستم $i$
$c_{swij}$ :	هزینه سوئیچ مورد استفاده در زیرسیستم $i$ برای سوئیچ گزینه $j$
$w_{swij}$ :	وزن سوئیچ مورد استفاده در زیرسیستم $i$ برای سوئیچ گزینه $j$
$C$ :	حداکثر هزینه مجاز سیستم
$W$ :	حداکثر وزن مجاز سیستم
$Tr(x_{ij})$ :	اگر از سوئیچ استفاده بشود برابر ۱ و در غیر این صورت برابر ۰ است.
$K_i$ :	حداقل تعداد جزء سالم برای کارکرد موفق زیرسیستم $i$ ام
$R$ :	قابلیت اطمینان
$n_{max_i}$ :	حداکثر تعداد مجاز جزء قابل انتخاب برای زیرسیستم $i$ ام

وقتی هدف حداکثر کردن قابلیت اطمینان تحت دو محدودیت وزن و هزینه‌ی سیستم باشد و این دو محدودیت برحسب تعداد قطعات خطی باشند، بیان ریاضی مسائل RAP بر اساس [۳۴] به صورت زیر است:

$$\begin{aligned} & \text{Max } R(t, x) \\ & \text{Sub. To:} \end{aligned} \quad (1)$$

با الهام از معیار تعریف‌شده توسط ناکاگوا و ناکاشیما [۱۱]، هر تخصیصی که معیار رابطه (۱۱) را حداکثر کند به‌عنوان تخصیص جدید انتخاب می‌شود. این کار تا انجام تخصیص برای کلیه زیرسیستم‌ها ادامه می‌یابد. در این رابطه  $\alpha$  و  $\beta$  ضرایب وزنی هزینه‌ها هستند.

$$S_i = \gamma R_s + \frac{(1 - \gamma)}{K_i(\alpha c_{ij} + \beta w_{ij})} \quad (11)$$

با مقادیر مختلف  $\gamma$  چند نقطه شروع تولید می‌شود و الگوریتم برای هر نقطه اجرا می‌شود. مثلاً اگر  $\gamma \in \{0, 0.1, 0.2, \dots, 1\}$  باشد، ۱۱ نقطه شروع خواهیم داشت.

### ۲-۳- تشریح الگوریتم GW

فلوچارت الگوریتم GW در شکل (۱) نشان داده شده است. این الگوریتم برای حل مسائل قابلیت اطمینان از شاخص «نسبت مقدار افزایش قابلیت اطمینان سیستم به مقدار افزایش در هزینه‌ها» به‌عنوان معیار روش حریصانه استفاده می‌کند که این شاخص را GI می‌نامیم. بنابراین در هر نقطه تصمیم از بین کلیه تصمیمات تعریف‌شده توسط الگوریتم، آن تصمیمی که حداکثر مقدار شاخص GI را دارد به‌عنوان تصمیم جدید اتخاذ می‌شود. GI هم برای اضافه شدن یک قطعه به سیستم و هم جابجایی قطعات فعلی با قطعات جدید به‌گونه‌ای که  $\Delta R_s$  را افزایش دهد محاسبه و تصمیمی که بالاترین مقدار شاخص را دارد به‌عنوان یک تصمیم جدید اتخاذ می‌نماید. این کار تا رسیدن به محدودیت‌های منابع ادامه می‌یابد.

اگر در مسئله‌ی بهینه‌سازی قابلیت اطمینان تنها یک محدودیت، مثلاً هزینه وجود داشته باشد، می‌توان شاخص حریصانه GI را به شکل رابطه (۱۲) نوشت، که در آن  $\Delta R_s$  مقدار افزایش در قابلیت اطمینان سیستم و  $\Delta C_s$  مقدار افزایش در هزینه است.

$$GI = \frac{\Delta R_s}{\Delta C_s} \quad (12)$$

زمانی که مسئله‌ی بهینه‌سازی قابلیت اطمینان شامل دو محدودیت، مثلاً وزن و هزینه، باشد شاخص GI با استفاده از روش وزن‌دهی هزینه‌ها به دست می‌آید. با تعریف  $\alpha$  و  $\beta$  به‌عنوان ضرایب وزنی محدودیت‌ها، محاسبه شاخص GI به شکل رابطه (۱۳) خواهد بود.

$$GI = \frac{\Delta R_s}{\alpha \Delta C_s + \beta \Delta W_s} \quad (13)$$

که در آن مقادیر مختلف شاخص روش حریصانه (GI) با ضرایب وزنی ( $\beta$  و  $\alpha$ ) متفاوت بین مقادیر مصرف این دو محدودیت محاسبه شده و بهترین آن‌ها به‌عنوان تصمیم جدید انتخاب می‌شود. اما برای اجرای الگوریتم GW لازم است سازوکار معینی برای تعیین مقدار  $\alpha$  و  $\beta$  ایجاد شود. یک روش ساده و متداول این است که  $0 \leq \alpha \leq 1$  و  $\beta = 1 - \alpha$  تعریف شوند و مسئله را یک‌بار با مقدار  $\alpha = 0$  و  $\beta = 1$  حل کرد. سپس مقدار کوچکی مثلاً  $g_a = 0.1$  به  $\alpha$  اضافه کرده و با مقادیر جدید مثلاً  $\alpha = 0.1$  و  $\beta = 0.9$  مجدداً مسئله را حل

روش وزن دهی هزینه‌ها نیز از تکنیک‌های پرکاربرد در مسائل بهینه‌سازی است که معمولاً در شرایطی که مسئله‌ی بهینه‌سازی با بیش از یک محدودیت روبرو است، به کار گرفته می‌شود. مثلاً وقتی که مسئله‌ی بهینه‌سازی قابلیت اطمینان شامل دو محدودیت بر روی هزینه و وزن باشد، یک‌راه حل ساده استفاده از تکنیک وزن دهی به هزینه‌ها برای حل مسئله است [۳۶].

در الگوریتم‌های مبتنی بر روش حریصانه یک موضوع مهم تعداد و نوع گزینه‌هایی است که در هر مرحله تصمیم‌گیری بررسی می‌شوند. الگوریتم GW در هنگام تصمیم‌گیری در هر مرحله به شکلی عمل می‌کند که تصمیم جدید هم شامل اضافه کردن یک قطعه جدید و هم شامل جابجایی برخی از قطعات فعلی با قطعات دیگر است. در این صورت تعداد قطعات سیستم تغییری نمی‌کند. در حالتی که در مسئله اختلاط قطعات مجاز نباشد، یعنی مسئله از نوع افزونه یکسان باشد، جابجایی کل قطعات هر زیرسیستم با قطعات جدید بررسی می‌شود و در حالت نایکسان بودن افزونه‌ها جهت حفظ سرعت الگوریتم تنها اختلاط دو نوع قطعه بررسی می‌شود. ضمناً تحذب تابع هدف در مسائل RAP، نگرانی از افتادن سریع الگوریتم حریصانه در بهینه‌های محلی را مرتفع می‌نماید.

### ۳-۱- نقطه شروع الگوریتم GW

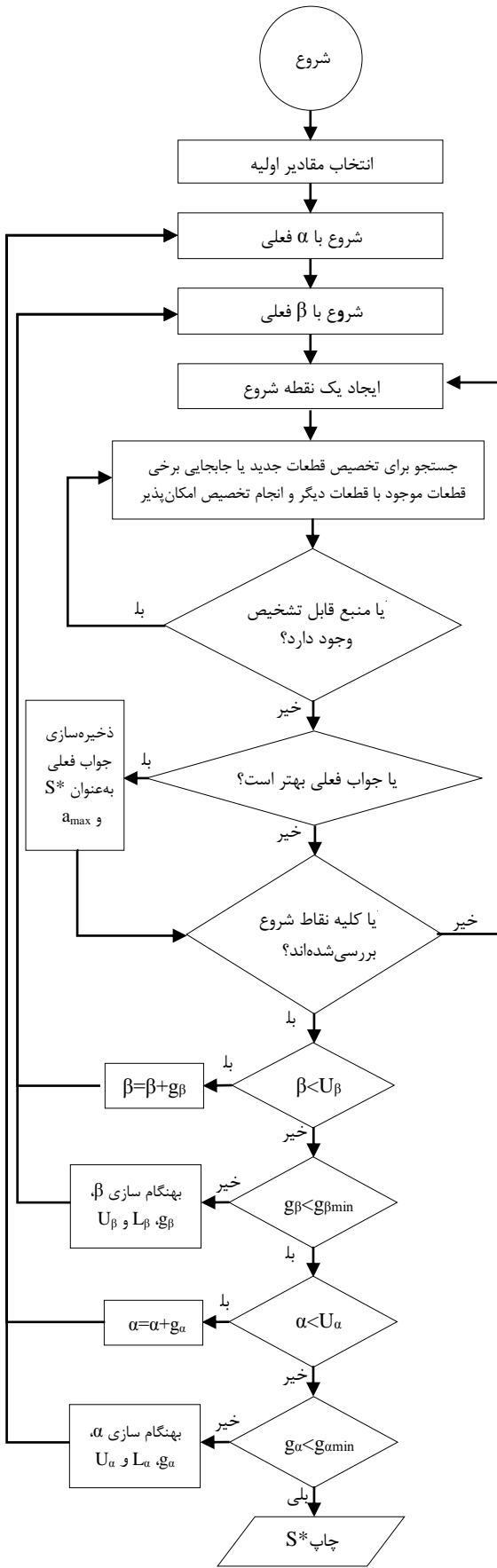
برای به‌کارگیری الگوریتم GW نیاز به یک نقطه شروع داریم. بدین منظور  $R_i$  را قابلیت اطمینان زیرسیستم  $i$  تعریف می‌کنیم که از رابطه (۱۰) به دست می‌آید.

$$R_i = 1 - \prod_{j=1}^{n_i} (1 - r_{ij})^{x_{ij}} \quad (10)$$

با در نظر گرفتن تعاریف قبلی، در رابطه (۱۰)،  $r_{ij}$  قابلیت اطمینان گزینه‌ی  $j$ ام از زیرسیستم  $i$ ام و  $n_i$  تعداد قطعات انتخاب‌شده برای زیرسیستم  $i$ ام است. یک نقطه شروع از طریق تخصیص حداقل تعداد قطعه موردنیاز ( $K_i$ )، برای هر زیرسیستم به وجود می‌آید. بنابراین می‌توان در تقسیم‌بندی مسائل به تک گزینه‌ای و چندگزینه‌ای به شکل زیر عمل کرد.

- اگر مسئله تک گزینه‌ای باشد یعنی اگر تنها یک نوع قطعه برای افزونه وجود داشته باشد ( $m_i = 1$ )، نقطه شروع تنها یک حالت دارد و آن منظور کردن یک قطعه برای هر زیرسیستم است.

- اگر مسئله چندگزینه‌ای باشد، یعنی برای تمام یا بعضی از زیرسیستم‌ها  $m_i > 1$  باشد، برای تعیین نقطه شروع، ابتدا فرض می‌شود که  $\forall i, m_i = 1$ ، و قابلیت اطمینان هر زیرسیستم  $i$  هم برابر یک است ( $R_i = 1$ )، که با این فرض قابلیت اطمینان کل سیستم نیز برابر یک خواهد بود ( $R_s = 1$ ). در مرحله بعد برای به دست آوردن نقطه شروع الگوریتم GW با لحاظ کردن  $m_i > 1$  با هر تخصیص جدید برای هر زیرسیستم،  $R_i$  و  $R_s$  را به‌روز کرده و در این تخصیص جدید حداکثر کردن  $R_s$  با کمترین مصرف منابع را هدف‌گذاری می‌کنیم.



شکل (۱): فلوچارت الگوریتم GW

در اجرای برنامه برای مسائل مختلف جواب‌های نهایی با روش

نمود. این کار را تا رسیدن مقدار  $\alpha$  به ۱ تکرار کرده و بهترین جواب به‌عنوان جواب نهایی انتخاب شود. این روش گرچه مزایای خود را دارد اما وقتی شدت محدودیت‌ها بسیار متفاوت باشد ممکن است یک بهینه محلی را پیگیری کند و اگر بخواهیم دقت را زیاد کنیم تعداد تکرارها زیاد می‌شود.

بنابراین در الگوریتم پیشنهادی سازوکار دیگری استفاده شده است که گرچه برای  $\alpha$  و  $\beta$  جداگانه اجرا می‌شود اما برای هر دو یکسان است. به همین دلیل فقط مکانیزم تغییر  $\alpha$  به شرح زیر توضیح داده می‌شود.

اگر  $\alpha^n$  ضریب وزنی محدودیت اول (هزینه) در حلقه تکرار  $n$ ام، متغیرهای  $L^n_\alpha$  و  $U^n_\alpha$  به ترتیب حد پایین و حد بالای  $\alpha^n$ ، همچنین  $g^n_\alpha$  را مقداری که در حلقه  $n$ ام به  $\alpha^n$  اضافه می‌شود، تعریف کنیم و  $\alpha^{n+1}_{max}$  را ضریب وزنی بنامیم که در بازه‌ای که  $\alpha^n$  تغییر می‌کند، بهترین جواب را تولید کرده است، آنگاه در اولین حلقه تکرار، حد پایین  $\alpha^1$ ، را  $L^1_\alpha=0$  و حد بالای آن  $U^1_\alpha=1$  در نظر گرفته و مقدار کوچکی برای  $g^1_\alpha$  (مثلاً  $g^1_\alpha=0.2$ ) در نظر می‌گیریم. ابتدا مسئله با  $\alpha=0$  حل کرده و سپس در تکرارهای بعدی هر بار مقدار  $g^1_\alpha$  به  $\alpha$  اضافه می‌شود و حل مسئله تکرار می‌شود تا اینکه  $\alpha^1$  به حد بالای خود ( $U^1_\alpha$ ) برسد. در این حلقه‌ی تکرار بهترین جواب به‌عنوان  $S^*$  و مقدار  $\alpha^1$  متناظر آن به‌عنوان  $\alpha^{1}_{max}$  حفظ می‌شود. در حلقه‌های تکرار بعدی (مثلاً  $n+1$ ام) مقادیر  $L^{n+1}_\alpha$  و  $U^{n+1}_\alpha$  و  $g^{n+1}_\alpha$  به‌صورت دسته روابط (۱۴) به‌نگام می‌شوند.

$$\begin{aligned} L^{n+1}_\alpha &= \alpha^n_{max} - g^n_\alpha \\ U^{n+1}_\alpha &= \alpha^n_{max} + g^n_\alpha \\ g^{n+1}_\alpha &= 0.2 * g^n_\alpha \\ \alpha^{n+1} &= L^{n+1}_\alpha \end{aligned} \tag{۱۴}$$

با این مقادیر جدید، حلقه تکرار  $n+1$ ام برای حل مسئله اجرا می‌شود. نقطه توقف حلقه‌های تکرار وقتی است که  $g^n_\alpha$  به‌دقت موردنظر برسد، که تحت عنوان  $g_{amin}$  بیان می‌شود.

مثال: فرض کنیم  $g_{amin}=0.1$  است. در اولین حلقه تکرار مقادیر  $L^1_\alpha=0$ ،  $U^1_\alpha=1$ ،  $g^1_\alpha=0.2$ ، مسئله ۶ بار با مقادیر  $\alpha^1=0.2, 0.4, \dots, 0.6$  حل شده و بهترین جواب با مقدار  $\alpha^1=0.6$  به‌دست آمده است. بنابراین  $\alpha^{1}_{max}=0.6$  می‌شود. اکنون با استفاده از دسته روابط (۱۴) برای حلقه تکرار دوم پارامترها به‌صورت زیر به‌نگام می‌شوند:

$$\begin{aligned} L^2_\alpha &= 0.6 - 0.2 = 0.4 \\ U^2_\alpha &= 0.6 + 0.2 = 0.8 \\ g^2_\alpha &= 0.2 * 0.2 = 0.04 \end{aligned}$$

حلقه تکرار جدیدی برای مقادیر  $\alpha \in \{0.4, 0.44, 0.48, \dots, 0.8\}$  محاسبه و مجدداً بهترین جواب و مقادیر متناظر  $\alpha^2$  به‌عنوان  $\alpha^2_{max}$  انتخاب و حلقه‌ی تکرار جدیدی اجرا می‌شوند. این کار تا وقتی  $g^n_\alpha$  کمتر از  $0.1$  شود ادامه می‌یابد.

سازوکار مشابهی برای  $\beta$  نیز اجرا می‌شود که مستقل از  $\alpha$  است. در واقع حلقه‌های تکرار  $\beta$  در دل حلقه‌های تکرار  $\alpha$  قرار می‌گیرد.

زیرسیستم  $i$  تعریف شود  $(Q_i=1-R_i)$ ، در حالت کلی این پیکربندی را می‌توان به شکل دسته روابط (۱۵) تا (۱۹) فرموله کرد.

$$\text{Max } R_s = (1-Q_1Q_3)(1-Q_2Q_4) + Q_5(1-(1-R_1R_2)(1-R_3R_4)) \quad (15)$$

Sub. To:

$$\sum_{i=1}^s \sum_{j=1}^{m_i} c_{ij} x_{ij} \leq C \quad (16)$$

$$\sum_{i=1}^s \sum_{j=1}^{m_i} w_{ij} x_{ij} \leq W \quad (17)$$

$$K_i \leq \sum_{j=1}^{m_i} x_{ij} \leq n_{max_i} \quad i = 1, \dots, S \quad (18)$$

$$x_{ij} \in \{0, 1, 2, \dots, n_{max_i}\}, i = 1, 2, \dots, S, j = 1, \dots, m_i \quad (19)$$

جدول (۱) اطلاعات مسئله که تنها شامل محدودیت بر روی هزینه است و قطعات نیز تنها یک گزینه دارند  $(m_i=1)$ ، را نشان می‌دهد. بنابراین می‌توان از روابط (۸) و (۹) به جای روابط (۶) و (۷) استفاده کرد.

جدول (۱): اطلاعات مسئله p1

i	۱	۲	۳	۴	۵
$R_{ij}$	۰/۸۱۰۶	۰/۶۹۴۰	۰/۶۹۷۴	۰/۸۰۶۸	۰/۶۳۳۱
$C_{ij}$	۴۵	۱	۸	۵۶	۲۵
$n_{max_i}$	۴	۱۴۶	۱۹	۳	۵

$C=۲۹۰$

برای اجرای الگوریتم به دلیل وجود تنها یک محدودیت، لزومی به استفاده از ضرایب مختلف نیست. ضمناً به دلیل نداشتن گزینه‌های مختلف برای هر زیرسیستم نقطه‌ی شروع به راحتی با تخصیص اولین قطعه ایجاد می‌شود.

جواب تولیدشده توسط الگوریتم GW برای P1 برابر  $R=۰/۹۹۹۵۱۳۵$ ، در زمان  $T=۰/۰۰۰۱۵$  ثانیه است. مقایسه نتایج به دست آمده توسط GW با الگوریتم‌های ارائه شده در پژوهش‌های قبلی در جدول (۲) منعکس شده است.

جدول (۲): مقایسه نتایج الگوریتم GW و دیگران برای P1

T sec	R	روش
۰/۰۰۰۱۵*	۰/۹۹۹۵۱۴	GW
۰/۰۴۹۹۲**	۰/۹۹۹۵۴۶	[۱۴]
۰/۰۰۳۲۶**	۰/۹۹۹۲۹۳	[۱۴]
۰/۲۴۲۰۵**	۰/۹۹۷۴۳۲	[۱۲]
۰/۵۰۰	۰/۹۹۹۵۱۴	[۱۱]
۰/۲۶۷۸۴**	۰/۹۹۹۵۴۶	[۱۳]

\* پردازشگر intel i5, 3.2 GHz, PC

\*\* پردازشگر PC, Pentium R.D 3.4 GHz

مشاهده می‌شود که جواب GW بسیار نزدیک به بهترین جواب است و برابر جواب [۱۱] و بهتر از جواب‌های دو روش دیگر است. در مورد زمان حل مسئله با توجه به تفاوت رایانه‌های

پیشنهادی معمولاً بهتر از روش اول بوده‌اند.

#### ۴- اجرای الگوریتم GW بر روی مسائل آزمایشی

الگوریتم GW برای حل بسیاری از مسائل با تنوع در پیکربندی قابل به کارگیری است. بنابراین برای کارایی سنجی و ارزیابی آن، الگوریتم بر روی مسائل مختلف با تنوع زیاد که قبلاً به وسیله الگوریتم‌های دیگری حل شده، اجرا و نتایج آن با جواب‌های بهینه و یا بهترین جواب‌های موجود مقایسه شده است. در مواردی که گزارش زمان اجرای الگوریتم‌های دیگر موجود بوده‌اند زمان‌ها نیز مقایسه شده‌اند.

مسائل انتخاب شده شامل پیکربندی پل، یک پیکربندی خاص و چند پیکربندی سری-موازی با شرایط متفاوت می‌باشند و بنابراین تنوع زیادی دارند. از لحاظ رابطه بین هزینه، وزن و قابلیت اطمینان چندین حالت مختلف در گزینه‌ها وجود دارد. مسائل هم از نوع یک گزینه‌ای و هم چندگزینه‌ای هستند و بعلاوه برخی مسائل از نوع «افزونه یکسان» و برخی «افزونه نایکسان» می‌باشند. همچنین در یک مسئله، نوع افزونه سرد و گرم لحاظ شده است.

الگوریتم GW با زبان برنامه‌نویسی C# کد شده و بر روی یک رایانه با پردازشگر intel i5 CPU 3.2 GHz با حافظه 2GB به اجرا درآمده است. درحالی‌که برای هر مسئله، الگوریتم‌هایی که GW با آن‌ها مقایسه شده‌اند اغلب به طور خاص برای آن مسئله طراحی شده و پارامترهای آن بهینه شده است اما GW با مقادیر ثابت برای پارامترها، به طور یکسان برای همه مسائل به اجرا درآمده است. بنابراین ممکن است با مقادیر دیگری برای پارامترها جواب‌های بهتری در زمان کوتاه‌تر نیز حاصل شود. مقادیر استفاده شده برای پارامترها به شرح ذیل می‌باشد.

$$L'_\alpha = L'_\beta = 1 \quad U'_\alpha = U'_\beta = 0$$

$$g'_\alpha = g'_\beta = 0.2$$

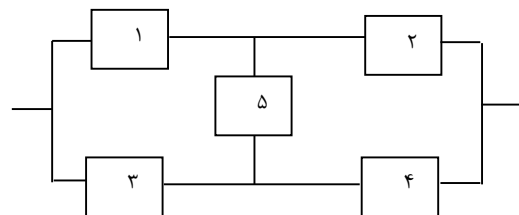
$$g_{amin} = g_{\beta min} = 0.01$$

$$g^{n+1}_\alpha = 0.2 * g^n_\alpha, g^{n+1}_\beta = 0.2 * g^n_\beta$$

$$\gamma \in \{0.01, \dots, 1\}$$

#### ۴-۱- مسئله آزمایشی P1

پیکربندی مسئله آزمایشی P1، یک سیستم پل مطابق شکل (۲) است که از پیکربندی‌های معروف در سیستم‌های پیچیده می‌باشد.



شکل (۲): یک چیدمان پل

اگر  $R_i$  قابلیت اطمینان زیرسیستم  $i$  و  $Q_i$  عدم اطمینان

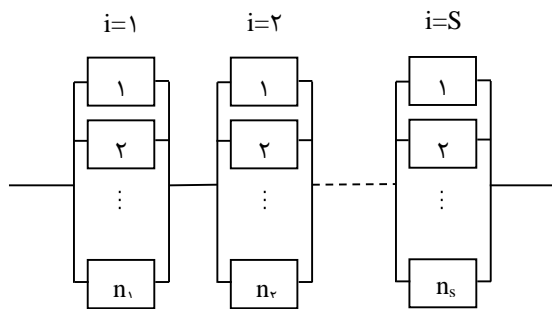
جواب بهینه [۳۷] است. در پژوهش‌های دیگر این جواب توسط ۵ الگوریتم دیگر نیز تولید شده که اطلاعات آن در جدول (۴) نشان داده شده است. کمترین و بیشترین زمان تولید جواب به ترتیب ۰/۰۰۳۴۲ ثانیه و ۰/۹۰۴۸۶ ثانیه گزارش شده که زمان تولید جواب با استفاده از الگوریتم پیشنهادی این پژوهش با لحاظ نوع رایانه‌های مورد استفاده، بسیار کوتاه‌تر بوده است. با اجرای GW برای حل مسئله P3، در مدت‌زمان ۰/۰۰۰۳۴ ثانیه جواب به دست آمده که جواب تولیدشده برابر R=۰/۹۹۷۴ است. این جواب برابر جواب بهینه [۳۸] است. همچنین بهتر از جواب [۱۲] بوده که مقداری برابر R=۰/۹۹۷۰ را به دست آورده است. در رابطه با مسئله P3 گزارشی از زمان اجرای الگوریتم‌های فوق دیده نشد.

جدول (۴): مقایسه نتایج الگوریتم GW و دیگران برای P2 و P3

	T sec	R	روش
P2	۰/۰۰۰۳۵	۰/۹۸۹۶۱۱۲	GW
	۰/۰۰۴۱۳	۰/۹۸۹۶۱۱۲	[۳۷]
	۰/۰۰۳۴۲	۰/۹۸۹۶۱۱۲	[۳۷]
	۰/۰۰۲۶۴	۰/۹۸۹۶۱۱۲	[۱۲]
	۰/۰۱۹۶۳	۰/۹۸۹۶۱۱۲	[۱۱]
P3	۰/۹۰۴۸۶	۰/۹۸۹۶۱۱۲	[۱۳]
	۰/۰۰۰۳۴	۰/۹۹۷۴	GW
	-	۰/۹۹۷۴	[۳۷]
	-	۰/۹۹۷۰	[۱۲]

۳-۴ - مسئله آزمایشی P4

مسئله آزمایشی P4 که از معروفترین پیکربندی‌ها می‌باشد شامل S زیرسیستم سری مطابق شکل (۴) است، که افزونه‌ها از نظر مشخصات عملکردی یکسان هستند (mi=1). بنابراین نوع مسئله RAP از نوع افزونه یکسان می‌باشد.



شکل (۴): پیکربندی سری-موازی

مسائلی با این نوع پیکربندی را می‌توان به شکل دسته روابط (۲۵) تا (۲۹) فرموله کرد.

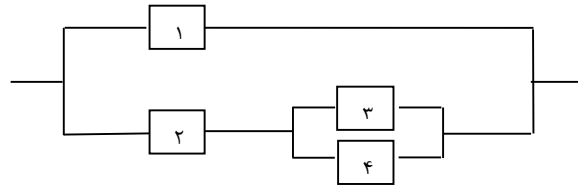
$$Max R_s = \prod_{i=1}^s (1 - (1 - r_i)^{n_i}) \quad (25)$$

Sub. To:

مورد استفاده امکان مقایسه وجود ندارد. بدین ترتیب با لحاظ نوع پردازشگر مورد استفاده برای سایر الگوریتم‌ها، زمان اجرای GW نیز ذکر شده که البته بسیار کمتر از سایر الگوریتم‌هاست.

۲-۴ - مسئله آزمایشی P2 و P3

این دو مسئله دارای پیکربندی خاص مطابق شکل (۳) هستند.



شکل (۳): پیکربندی P2 و P4

این نوع پیکربندی را می‌توان به شکل دسته روابط (۲۰) تا (۲۴) فرموله کرد.

$$Max R_s = R_1 + Q_1 R_2 R_4 + Q_1 R_2 R_3 Q_4 \quad (20)$$

Sub. To:

$$\sum_{i=1}^s \sum_{j=1}^{m_i} c_{ij} x_{ij} \leq C \quad (21)$$

$$\sum_{i=1}^s \sum_{j=1}^{m_i} w_{ij} x_{ij} \leq W \quad (22)$$

$$K_i \leq \sum_{j=1}^{m_i} x_{ij} \leq n_{max_i} \quad i = 1, \dots, S \quad (23)$$

$$x_{ij} \in \{0, 1, 2, \dots, n_{max_i}\}, \quad i=1, 2, \dots, S, \quad j=1, 2, \dots, m_i \quad (24)$$

جدول (۳) اطلاعات مسئله P2 و P3 را که از نوع تک گزینه‌ای بوده و دارای دو محدودیت می‌باشند را نشان می‌دهد. تفاوت دو مسئله فوق در نسبت هزینه و وزن گزینه‌های آن‌ها است. در P2 هزینه و وزن گزینه‌ها نزدیک یکدیگر هستند؛ اما در مسئله P3 در نسبت هزینه و وزن گزینه‌ها تفاوت زیادی وجود دارد.

جدول (۳): اطلاعات مسائل P2 و P3

	I	۱	۲	۳	۴
P2	ri	۰/۶۹۸۴	۰/۶۲۵	۰/۸۴۶۴	۰/۷۵۳۶
	ci	۲	۶۴	۳	۴
	wi	۴۸	۷۴	۲۳	۷۴
	nmaxi	۶	۱	۱۳	۴
		C=۱۳۲	W=۳۴۱		
P3	ri	۰/۸۰	۰/۷۵	۰/۷۰	۰/۶۵
	ci	۶	۴	۳	۲
	wi	۹	۴	۴	۳
	C=۳۰	W=۴۰			

جواب تولیدشده توسط GW برای P2 برابر R=۰/۹۸۹۶۱۱۲ و زمان تولید جواب ۰/۰۰۰۳۵ ثانیه است. این جواب برابر با



این تفاوت که امکان انتخاب‌های چندگانه برای هر زیرسیستم وجود دارد ( $m_i \geq 1$ ) و افزونه‌ها غیر یکسان هستند. بنابراین می‌توان مسئله با این پیکربندی را به شکل دسته روابط (۳۰) تا (۳۴) فرموله کرد.

$$\text{Max } R_s = \prod_{i=1}^s \left(1 - \prod_{j=1}^{m_i} (1 - r_{ij})^{x_{ij}}\right) \quad (30)$$

Sub. To:

$$\sum_{i=1}^s \sum_{j=1}^{m_i} c_{ij} x_{ij} \leq C \quad (31)$$

$$\sum_{i=1}^s \sum_{j=1}^{m_i} w_{ij} x_{ij} \leq W \quad (32)$$

$$K_i \leq \sum_{j=1}^{m_i} x_{ij} \leq n_{\max_i} \quad i = 1 \dots S \quad (33)$$

$$x_{ij} \in \{0, 1, 2, \dots, n_{\max_i}\}, i = 1, 2, \dots, S, j = 1, \dots, m_i \quad (34)$$

معروف‌ترین مسئله سری- موازی مسئله‌ای است که فیف و همکاران [۹]، در سال ۱۹۶۸ ایجاد کردند و بعداً ناکاگاو و میازاکی [۱۰]، آن را توسعه دادند. این مسئله شامل ۱۴ زیرسیستم با پیکربندی سری است که هر زیرسیستم دارای ۳ یا ۴ گزینه است و برای هر زیرسیستم  $i$  تعداد افزونه مجاز برابر ۸ و حداقل تعداد قطعه سالم لازم برای کارکرد موفق زیرسیستم  $i$  برابر یک ( $n_{\max_i} = 8$  و  $K_i = 1 \forall i$ ) می‌باشد.

$$\sum_{i=1}^s n_i c_i \leq C \quad (26)$$

$$\sum_{i=1}^s n_i w_i \leq W \quad (27)$$

$$K_i \leq \sum_{j=1}^{m_i} x_{ij} \leq n_{\max_i} \quad i = 1 \dots S \quad (28)$$

$$x_{ij} \in \{0, 1, 2, \dots, n_{\max_i}\}, i = 1, 2, \dots, S, j = 1, \dots, m_i \quad (29)$$

اطلاعات مسئله در جدول (۵) ارائه شده است.

الگوریتم GW جوابی برابر  $R = 0.945$  در مدت زمان  $0.00101$  ثانیه تولید کرد که دقیقاً برابر جوابی است که در [۳۹] با استفاده از دو روش متفاوت بر پایه الگوریتم ژنتیک در مدت زمان  $5/04$  و  $3/75$  ثانیه با اجرا بر روی یک رایانه شخصی پنتیوم با پردازشگر 800MHz ارائه شده است. مشاهده می‌شود با لحاظ نوع رایانه مورد استفاده، GW جواب برابر در زمان هزاران بار کوتاه‌تر تولید کرده است. در این مثال تفاوت فاحش سرعت دو الگوریتم، کارایی شاخص حریمانه ابتکاری به کار گرفته شده در الگوریتم GW را با وضوح بیشتری نشان می‌دهد، هرچند که در این رابطه تفاوت مکانیزم نقطه توقف دو الگوریتم نیز به شدت تأثیرگذار است.

#### ۴-۴- مسئله آزمایشی P5

مسئله آزمایشی P5 همانند P4 دارای S زیرسیستم سری است.

جدول (۵): اطلاعات مسئله آزمایشی P4

J	۱	۲	۳	۴	۵	۶	۷	۸	۹	۱۰	۱۱	۱۲	۱۳	۱۴	۱۵
$R_j$	۰/۹۰	۰/۷۵	۰/۶۵	۰/۸۰	۰/۸۵	۰/۹۳	۰/۷۸	۰/۶۶	۰/۷۸	۰/۹۱	۰/۷۹	۰/۷۷	۰/۶۷	۰/۷۹	۰/۶۷
$C_j$	۵	۴	۹	۷	۷	۵	۶	۹	۴	۵	۶	۷	۹	۸	۶
$W_j$	۸	۹	۶	۷	۸	۸	۹	۶	۷	۸	۹	۷	۶	۵	۷
	C=۴۰۰					W=۴۱۴									

جدول (۶): اطلاعات مسئله آزمایشی P5

Subsystem	Component 1			Component 2			Component 3			Component 4			
	i	r	c	w	r	c	w	r	c	w	r	c	w
۱		۰/۹۰	۱	۳	۰/۹۳	۱	۴	۰/۹۱	۲	۲	۰/۹۵	۲	۵
۲		۰/۹۵	۲	۸	۰/۹۴	۱	۱۰	۰/۹۳	۱	۹			
۳		۰/۸۵	۲	۷	۰/۹۰	۳	۵	۰/۸۷	۱	۶	۰/۹۲	۴	۴
۴		۰/۸۳	۳	۵	۰/۸۷	۴	۶	۰/۸۵	۵	۴			
۵		۰/۹۴	۲	۴	۰/۹۳	۲	۳	۰/۹۵	۳	۵			
۶		۰/۹۹	۳	۵	۰/۹۸	۳	۴	۰/۹۷	۲	۵	۰/۹۶	۲	۴
۷		۰/۹۱	۴	۷	۰/۹۲	۴	۸	۰/۹۴	۵	۹			
۸		۰/۸۱	۳	۴	۰/۹۰	۵	۷	۰/۹۱	۶	۶			
۹		۰/۹۷	۲	۸	۰/۹۹	۳	۹	۰/۹۶	۴	۷	۰/۹۱	۳	۸
۱۰		۰/۸۳	۴	۶	۰/۸۵	۴	۵	۰/۹۰	۵	۶			
۱۱		۰/۹۴	۳	۵	۰/۹۵	۴	۶	۰/۹۶	۵	۶			
۱۲		۰/۷۹	۲	۴	۰/۸۲	۳	۵	۰/۸۵	۴	۶	۰/۹۰	۵	۷
۱۳		۰/۹۸	۲	۵	۰/۹۹	۳	۵	۰/۹۷	۲	۶			
۱۴		۰/۹۰	۴	۶	۰/۹۲	۲	۷	۰/۹۵	۵	۶	۰/۹۹	۶	۹

جدول (۷): نتایج اجرای الگوریتم GW برای P5

	W	R	R <sub>GW</sub>	R <sub>Max-Min</sub>	R <sub>mvo2</sub>	T <sub>GW</sub>	T <sub>Max-Min</sub>	T <sub>MVO2</sub>	
۱	۱۹۱	۰/۹۸۶۸	۰/۹۸۶۴	۰/۹۸۴۸	۰/۹۸۴۳	۰/۵۰۱۳	۴۰۹/۵	۲	
۲	۱۹۰	۰/۹۸۶۴	۰/۹۸۵۵	۰/۹۸۴۳	۰/۹۸۴۶	۰/۵۰۳۴	۳۱۵/۵	۲/۶	
۳	۱۸۹	۰/۹۸۵۹	۰/۹۸۴۵	۰/۹۸۴۰	۰/۹۸۴۵	۰/۴۷۱۲	۲۹۹/۵	۲/۲	
۴	۱۸۸	۰/۹۸۵۴	۰/۹۸۴۴	۰/۹۸۲۹	۰/۹۸۴۳	۰/۴۹۸۲	۶۳۲/۱	۲/۱	
۵	۱۸۷	۰/۹۸۴۷	۰/۹۸۳۸	۰/۹۸۲۹	۰/۹۸۳۷	۰/۴۹۱۶	۱۲	۲	
۶	۱۸۶	۰/۹۸۴۲	۰/۹۸۳۵	۰/۹۸۲۴	۰/۹۸۳۷	۰/۴۵۶۲	۴۲۶/۳	۱/۸	
۷	۱۸۵	۰/۹۸۳۵	۰/۹۸۲۵	۰/۹۸۲۴	۰/۹۸۳۵	۰/۳۳۰۰	۱۵۱	۱/۸	
۸	۱۸۴	۰/۹۸۳۰	۰/۹۸۱۹	۰/۹۷۹۹	۰/۹۸۲۷	۰/۴۸۳۹	۴۹	۱/۹	
۹	۱۸۳	۰/۹۸۲۳	۰/۹۸۱۲	۰/۹۸۱۱	۰/۹۸۲۲	۰/۴۷۷۷	۲۱۲/۵	۱/۷	
۱۰	۱۸۲	۰/۹۸۱۵	۰/۹۸۰۹	۰/۹۷۹۵	۰/۹۸۰۱	۰/۳۳۰۲	۱۵۲/۵	۱/۸	
۱۱	۱۸۱	۰/۹۸۱۰	۰/۹۸۰۴	۰/۹۸۰۰	۰/۹۸۰۰	۰/۳۱۷۰	۱۳۸/۸	۱/۸	
۱۲	۱۸۰	۰/۹۸۰۳	۰/۹۷۹۷	۰/۹۷۷۶	۰/۹۷۸۲	۰/۳۲۱۵	۱۵۷/۴	۱/۶	
۱۳	۱۷۹	۰/۹۷۹۵	۰/۹۷۸۵	۰/۹۷۸۰	۰/۹۷۷۸	۰/۴۶۹۲	۲۴۸/۷	۱/۵	
۱۴	۱۷۸	۰/۹۷۸۴	۰/۹۷۷۸	۰/۹۷۷۲	۰/۹۷۷۱	۰/۳۰۸۸	۱۲۶/۱	۱/۳	
۱۵	۱۷۷	۰/۹۷۷۶	۰/۹۷۷۲	۰/۹۷۷۳	۰/۹۷۶۷	۰/۳۰۹۹	۷۹	۱/۳	
۱۶	۱۷۶	۰/۹۷۶۷	۰/۹۷۶۴	۰/۹۷۶۵	۰/۹۷۶۵	۰/۳۱۱۸	۳۸	۱/۲	
۱۷	۱۷۵	۰/۹۷۵۷	۰/۹۷۴۱	۰/۹۷۳۴	۰/۹۷۵۳	۰/۳۰۵۷	۵۵/۵	۱/۲	
۱۸	۱۷۴	۰/۹۷۴۹	۰/۹۷۳۵	۰/۹۷۴۵	۰/۹۷۳۲	۰/۳۰۳۳	۱۳/۵	۱/۱	
۱۹	۱۷۳	۰/۹۷۳۸	۰/۹۷۲۹	۰/۹۷۲۸	۰/۹۷۲۷	۰/۳۰۵۷	۵/۷	۱	
۲۰	۱۷۲	۰/۹۷۳۰	۰/۹۷۱۷	۰/۹۶۹۶	۰/۹۷۲۵	۰/۴۴۸۷	۱/۷	۱	
۲۱	۱۷۱	۰/۹۷۱۹	۰/۹۷۱۱	۰/۹۶۹۴	۰/۹۷۱۴	۰/۲۹۵۷	۱/۱	۱	
۲۲	۱۷۰	۰/۹۷۰۸	۰/۹۷۰۳	۰/۹۶۸۸	۰/۹۶۹	۰/۲۹۳۷	۳/۳	۰/۹	
۲۳	۱۶۹	۰/۹۶۹۳	۰/۹۶۹۲	۰/۹۶۶۴	۰/۹۶۷۶	۰/۲۹۷۶	۱۴/۳	۰/۷	
۲۴	۱۶۸	۰/۹۶۸۱	۰/۹۶۸۱	۰/۹۶۵۲	۰/۹۶۶۹	۰/۴۳۵۱	۲/۳	۰/۷	
۲۵	۱۶۷	۰/۹۶۶۳	۰/۹۶۵۳	۰/۹۶۴۵	۰/۹۶۶۳	۰/۲۸۶۲	۱/۳	۰/۶	
۲۶	۱۶۶	۰/۹۶۵۰	۰/۹۶۴۶	۰/۹۶۴۰	۰/۹۶۴	۰/۲۸۴۸	۱/۵	۰/۶	
۲۷	۱۶۵	۰/۹۶۳۷	۰/۹۶۳۵	۰/۹۶۰۷	۰/۹۶۱۳	۰/۲۸۹۱	۱/۹	۰/۵	
۲۸	۱۶۴	۰/۹۶۲۴	۰/۹۶۱۸	۰/۹۵۹۵	۰/۹۵۸۹	۰/۲۸۱۴	۱/۱	۰/۵	
۲۹	۱۶۳	۰/۹۶۰۶	۰/۹۵۹۴	۰/۹۵۸۸	۰/۹۶۰۶	۰/۲۸۱۴	۰/۹	۰/۵	
۳۰	۱۶۲	۰/۹۵۹۲	۰/۹۵۹۲	۰/۹۵۸۳	۰/۹۵۸۳	۰/۲۷۹۲	۰/۷	۰/۴	
۳۱	۱۶۱	۰/۹۵۸۰	۰/۹۵۷۱	۰/۹۵۶۲	۰/۹۵۶۲	۰/۲۷۷۳	۰/۹	۰/۴	
۳۲	۱۶۰	۰/۹۵۵۷	۰/۹۵۵۴	۰/۹۵۴۸	۰/۹۵۲۹	۰/۲۶۹۳	۰/۷	۰/۴	
۳۳	۱۵۹	۰/۹۵۴۶	۰/۹۵۴۶	۰/۹۵۲۷	۰/۹۵۲۷	۰/۲۶۷۲	۰/۷	۰/۷	
						AVE	۰/۳۵۷۰۶۹۷	۱۰۷/۷۲۷۲۷	۱/۲۲۴۴۲۲۴

جواب‌های آن با جواب بهینه برابر است. جواب‌های GW بهتر از الگوریتم MWO2 [۳] و بسیار بهتر از الگوریتم Max-Min [۴۱] است. از ازنظر زمان اجرا، الگوریتم GW با لحاظ نوع پردازشگر کمترین و الگوریتم Max-Min بیشترین زمان اجرا را دارد.

**۴-۵- مسئله آزمایشی P8,P7,P6**

مسئله آزمایشی P5 توجه زیادی را جلب و بسیاری از مطالعات بر روی آن انجام شده است؛ اما دارای برخی مشکلات است. به همین دلیل کویت و کوناک سه دسته مسئله‌ی سری- موازی دیگر مطابق جدول (۸) طراحی کردند [۳] که اولاً در آن  $S=20$  و  $mi=4$

اطلاعات P5 در جدول (۶) آورده شده است. با ثابت نگه‌داشتن حد مجاز هزینه برابر ۱۳۰ واحد ( $C=130$ ) و تغییر حد مجاز وزن (W) از ۱۹۱ واحد تا ۱۵۹ مجموعاً ۳۳ مسئله تولید می‌شود.

نتایج اجرای الگوریتم GW برای P5 و مقایسه آن با سایر الگوریتم‌ها در جدول (۷) نشان داده شده است. با اینکه مسئله تاکنون توسط تعداد زیادی از محققین حل شده، اما در تعداد معدودی از آن‌ها زمان اجرا برنامه گزارش شده است. لذا انجام مقایسه نتایج GW با نتایج همین موارد صورت گرفته است. چنانکه مشاهده می‌شود GW جواب‌های بسیار نزدیک به جواب بهینه تولید کرده است. بهترین جواب را الگوریتم ILP [۴۰]، تولید کرده و کلیه

و وزن (W&C) متفاوت است و هرکدام از ۱۰۰ تا ۲۵۰ واحد تغییر می‌کنند، به طوری که هر مسئله دارای ۳۶ حالت مختلف است. بنابراین این سه مسئله جمعاً ۱۰۸ حالت را شامل می‌شوند. بیلیونت [۴۰] و کویت و کوناک [۳] مسائل را حل نموده‌اند که مقایسه بین جواب‌های آنان با الگوریتم GW در جدول (۹) آورده شده است.

همچنین  $n_{maxi}=6$  می‌باشد. ثانیاً در هر مسئله نسبت هزینه، وزن و قابلیت اطمینان قطعات متفاوت است، در P6 ترتیب هزینه، وزن و قابلیت اطمینان گزینه‌ها صعودی است. در P7 ترتیب هزینه‌ی گزینه‌ها صعودی، ترتیب وزن آن‌ها نزولی و قابلیت اطمینان تقریباً برابر است. در P8، گزینه ۱ و ۲ دارای هزینه، وزن و قابلیت اطمینان کم هستند، در حالی که گزینه‌های ۳ و ۴ دارای هزینه، وزن و قابلیت بالا هستند. ثالثاً، دامنه محدودیت‌ها بر روی منابع هزینه

جدول (۸): اطلاعات مسئله آزمایشی P8, P7, P6

	P6			P7			P8		
	ci1,...,ci4	wi1,...,wi4	ri1,...,ri4	ci1,...,ci4	wi1,...,wi4	ri1,...,ri4	ci1,...,ci4	wi1,...,wi4	ri1,...,ri4
۱	۳۵۸.۱۰	۳۵۸.۱۰	۰/۷۱, ۰/۸۲, ۰/۹, ۰/۹۹	۳۵۶.۱۰	۹۷۴.۱	۰/۹۲, ۰/۹, ۰/۹۱, ۰/۹۲	۳۴۷.۱۰	۴۳۱.۰۷	۰/۸۱, ۰/۸, ۰/۹۶, ۰/۹۸
۲	۳۵۸.۱۰	۴۶۸.۱۰	۰/۷, ۰/۸۲, ۰/۹۲, ۰/۹۸	۲۵۷.۱۰	۱۰۶۵.۳	۰/۹۲, ۰/۹, ۰/۹۲, ۰/۹۱	۳۵۷.۸	۴۳۱.۰۷	۰/۸۲, ۰/۸۲, ۰/۹۷, ۰/۹۸
۳	۳۵۷.۱۰	۲۶۸.۱۰	۰/۷, ۰/۸۳, ۰/۹۱, ۰/۹۷	۱۵۷.۹	۹۶۴.۱	۰/۹۱, ۰/۹۳, ۰/۹۳, ۰/۹۲	۱۵۶.۹	۴۱۱.۰۷	۰/۸۲, ۰/۸, ۰/۹۶, ۰/۹۷
۴	۴۶۸.۹	۲۶۷.۹	۰/۷۲, ۰/۸۲, ۰/۹۳, ۰/۹۷	۱۵۷.۹	۹۷۵.۳	۰/۹۳, ۰/۹۳, ۰/۹۲, ۰/۹	۲۵۶.۹	۵۳۸.۷	۰/۸۳, ۰/۸, ۰/۹۶, ۰/۹۶
۵	۳۵۷.۹	۲۵۷.۱۰	۰/۷۳, ۰/۸۱, ۰/۹۲, ۰/۹۷	۱۵۶.۹	۱۰۷۴.۳	۰/۹۳, ۰/۹۱, ۰/۹, ۰/۹۱	۳۵۷.۸	۵۳۱.۰۷	۰/۸۲, ۰/۸۱, ۰/۹۶, ۰/۹۸

ادامه‌ی جدول (۸): اطلاعات مسئله آزمایشی P6, P7, P8

	P6			P7			P8		
	ci1,...,ci4	wi1,...,wi4	ri1,...,ri4	ci1,...,ci4	wi1,...,wi4	ri1,...,ri4	ci1,...,ci4	wi1,...,wi4	ri1,...,ri4
۶	۳۵۷۹	۳۵۸۱۰	۰/۷۱, ۰/۸۱, ۰/۹۲, ۰/۹۹	۲۴۷۹	۸۷۵۱	۰/۹۱, ۰/۹, ۰/۹, ۰/۹۳	۱۴۷۱۰	۵۳۱۰۶	۰/۸, ۰/۸۲, ۰/۹۸, ۰/۹۸
۷	۲۶۸۹	۴۵۷۱۰	۰/۷۳, ۰/۸۳, ۰/۹۱, ۰/۹۸	۱۵۶۹	۱۰۷۴۳	۰/۹۳, ۰/۹, ۰/۹, ۰/۹	۱۴۶۸	۵۲۹۷	۰/۸, ۰/۸۳, ۰/۹۸, ۰/۹۸
۸	۴۵۷۱۰	۴۵۸۱۰	۰/۷۳, ۰/۸, ۰/۹۱, ۰/۹۸	۲۵۷۹	۸۷۵۳	۰/۹۲, ۰/۹۲, ۰/۹۱, ۰/۹۲	۳۴۶۹	۴۱۹۷	۰/۸۳, ۰/۸۳, ۰/۹۸, ۰/۹۸
۹	۴۶۷۹	۴۶۸۱۰	۰/۷۲, ۰/۸۳, ۰/۹۱, ۰/۹۹	۱۴۶۸	۸۷۵۲	۰/۹, ۰/۹۱, ۰/۹۳, ۰/۹	۲۴۶۱۰	۵۳۹۶	۰/۸۳, ۰/۸۲, ۰/۹۷, ۰/۹۶
۱۰	۳۶۸۱۰	۲۶۷۹	۰/۷۲, ۰/۸۳, ۰/۹۲, ۰/۹۹	۱۵۷۹	۱۰۷۵۱	۰/۹۳, ۰/۹۱, ۰/۹۲, ۰/۹۱	۲۴۶۹	۴۳۹۷	۰/۸۱, ۰/۸۱, ۰/۹۶, ۰/۹۸
۱۱	۴۵۷۹	۲۵۷۱۰	۰/۷۱, ۰/۸۳, ۰/۹۳, ۰/۹۷	۱۴۶۹	۱۰۶۴۳	۰/۹۳, ۰/۹۳, ۰/۹, ۰/۹۱	۱۵۶۸	۵۱۱۰۶	۰/۸۲, ۰/۸۱, ۰/۹۷, ۰/۹۸

ادامه‌ی جدول (۸): اطلاعات مسئله آزمایشی P6، P7، P8

	P6			P7			P8		
	ci1,...,ci4	wi1,...,wi4	ri1,...,ri4	ci1,...,ci4	wi1,...,wi4	ri1,...,ri4	ci1,...,ci4	wi1,...,wi4	ri1,...,ri4
۱	۲۵۸۸۹	۳۶۸۸۹	۰/۷۱, ۰/۸۱, ۰/۹۱, ۰/۹۷	۱۵۷۷۸	۹۶۴۴۱	۰/۹, ۰/۹۳, ۰/۹, ۰/۹	۲۵۶۶۸	۵۳۹۱۶	۰/۸۳, ۰/۸۳, ۰/۹۸, ۰/۹۷
۲	۲۶۸۸۹	۲۵۷۷۱۰	۰/۷۲, ۰/۸۳, ۰/۹۱, ۰/۹۸	۱۴۶۶۱۰	۹۶۴۴۱	۰/۹۳, ۰/۹, ۰/۹۱, ۰/۹۲	۱۵۶۶۸	۴۳۸۸۶	۰/۸۱, ۰/۸۱, ۰/۹۶, ۰/۹۸
۳	۲۶۷۷۱۰	۴۶۸۸۱۰	۰/۷۳, ۰/۸۳, ۰/۹, ۰/۹۸	۲۵۶۶۹	۱۰۶۵۵۱	۰/۹۳, ۰/۹۲, ۰/۹۱, ۰/۹۱	۳۵۶۶۹	۵۳۸۸۶	۰/۸۱, ۰/۸, ۰/۹۷, ۰/۹۶
۴	۳۶۸۸۹	۲۵۸۸۱۰	۰/۷۳, ۰/۸۳, ۰/۹۲, ۰/۹۸	۲۴۶۶۹	۸۷۵۵۳	۰/۹۳, ۰/۹۳, ۰/۹۱, ۰/۹	۲۴۶۶۱۰	۵۱۸۸۷	۰/۸, ۰/۸۳, ۰/۹۸, ۰/۹۸
۵	۴۶۷۷۱۰	۴۵۸۸۱۰	۰/۷۱, ۰/۸۳, ۰/۹۲, ۰/۹۸	۲۴۶۶۱۰	۹۶۴۴۳	۰/۹۱, ۰/۹, ۰/۹۳, ۰/۹۱	۱۵۶۶۸	۴۲۹۱۷	۰/۸۲, ۰/۸۲, ۰/۹۸, ۰/۹۸
۶	۳۵۷۷۱۰	۲۶۷۷۹	۰/۷, ۰/۸, ۰/۹۲, ۰/۹۷	۲۵۷۷۹	۱۰۶۴۴۳	۰/۹, ۰/۹, ۰/۹۲, ۰/۹۲	۱۴۷۷۸	۵۳۱۰۷	۰/۸, ۰/۸۳, ۰/۹۷, ۰/۹۶

ادامه‌ی جدول (۸): اطلاعات مسئله آزمایشی P6, P7, P8

	P6			P7			P8		
	ci1,...,ci4	wi1,...,wi4	ri1,...,ri4	ci1,...,ci4	wi1,...,wi4	ri1,...,ri4	ci1,...,ci4	wi1,...,wi4	ri1,...,ri4
۸	۲۶۸.۱۰	۳۵۸.۹	۰/۷۲, ۰/۸, ۰/۹۳, ۰/۹۹	۱۵۶.۹	۸۷۵.۲	۰/۹۱, ۰/۹۳, ۰/۹, ۰/۹۱	۳۵۶.۱۰	۴۲۹.۷	۰/۸, ۰/۸, ۰/۹۷, ۰/۹۶
۶	۲۶۸.۹	۴۵۸.۱۰	۰/۸۱, ۰/۸, ۰/۹۳, ۰/۹۷	۳۵۷.۸	۸۶۴.۳	۰/۹۲, ۰/۹, ۰/۹, ۰/۹۳	۲۴۷.۹	۴۲۸.۶	۰/۸۱, ۰/۸۳, ۰/۹۸, ۰/۹۸
۲	۴۶۸.۱۰	۳۵۸.۹	۰/۷, ۰/۸۳, ۰/۹, ۰/۹۹	۱۵۶.۸	۹۷۵.۲	۰/۹۱, ۰/۹۱, ۰/۹, ۰/۹۳	۱۴۶.۹	۵۳۹.۶	۰/۸, ۰/۸, ۰/۹۸, ۰/۹۸

جدول (۹): مقایسه نتایج الگوریتم GW با روش‌های دیگران برای P6, P7 و P8

C	W	P6					P7					P8				
		R <sub>G</sub>	R <sub>IL</sub>	R <sub>MWO</sub>	T <sub>G</sub>	T <sub>ILP</sub>	R <sub>G</sub>	R <sub>IL</sub>	R <sub>MWO</sub>	T <sub>G</sub>	T <sub>ILP</sub>	R <sub>G</sub>	R <sub>IL</sub>	R <sub>MWO</sub>	T <sub>GW</sub>	T <sub>ILP</sub>
۱	۱۰۰	۰/۰۵۹۵۳	۰/۰۶۲۶۹	۰/۰۵۲۶۸	۱/۰۲۶	۱۰۱/۸۹	۰/۱۷۴۵۷	۰/۱۷۲۶۵	۰/۱۷۲۶۵	۰/۰۳۳۶	۰/۱۲	۰/۱۷۸۳۸	۰/۱۵۰۸۵	۰/۱۴۷۲۲	۱/۰۲	۳۰۰
۲	۱۳۰	۰/۰۸۲۸۱۷	۰/۰۸۵۹۲	۰/۰۷۷۰۲	۰/۹۴۱	۱۱۹/۳۳	۰/۲۵۲۸۶۹	۰/۲۵۲۸۷	۰/۲۵۰۳۵	۰/۳۹۳۴	۳/۸۵	۰/۳۴۹۶۶۸	۰/۳۲۶۰۷	۰/۳۲۸۴	۱/۳۲۲	۳۰۰
۳	۱۶۰	۰/۰۸۲۸۱۷	۰/۰۸۵۹۲	۰/۰۷۷۰۲	۰/۹۴۲	۲۶/۸	۰/۳۱۸۴۷۸	۰/۳۱۸۴۸	۰/۳۱۶۵۹	۰/۴۴۷۷	۳۰۰	۰/۵۶۶۷۰۸	۰/۵۴۶۶	۰/۵۵۰۳	۱/۴۶۵	۱۱/۳۳
۴	۱۹۰	۰/۰۸۲۸۱۷	۰/۰۸۵۹۲	۰/۰۷۷۰۲	۰/۹۴۱	۲۶/۹۲	۰/۳۹۴۰۵	۰/۳۹۸۳۳	۰/۳۹۴۲۹	۰/۷۶۴۵	۳۰۰	۰/۶۵۸۰۲۶	۰/۶۵۳۷۷	۰/۶۴۷۷۳	۱/۹۵۵	۱/۲۳
۵	۲۲۰	۰/۰۸۲۸۱۷	۰/۰۸۵۹۲	۰/۰۷۷۰۲	۰/۹۴۲	۲۶/۸۳	۰/۴۸۳۰۶۸	۰/۴۸۱۵۶	۰/۴۸۲۰۹	۰/۶۳۸۵	۳۰۰	۰/۷۲۸۳۹۸	۰/۷۳۳۴۸	۰/۷۲۹۸۷	۱/۶۴۱	۱/۵۴



ادامه جدول (۹): مقایسه نتایج الگوریتم GW با روش‌های دیگران برای P6، P7 و P8

C	W	P6					P7					P8					
		R <sub>GW</sub>	R <sub>ILP</sub>	R <sub>MWO2</sub>	T <sub>GW</sub>	T <sub>ILP</sub>	R <sub>GW</sub>	R <sub>ILP</sub>	R <sub>MWO2</sub>	T <sub>GW</sub>	T <sub>ILP</sub>	T <sub>ILP</sub>	T <sub>ILP</sub>	T <sub>ILP</sub>	T <sub>ILP</sub>		
۱۷	۱۶۰	۲۲۰	۰/۶۰۷۴۶/۱۶	۰/۶۰۷۴۶/۱۶	۰/۶۰۷۴۶/۱۶	۱/۵۷۲	۵/۳	۰/۷۶۷۲۹۲	۰/۷۶۷۲۹۲	۰/۷۶۷۲۹۲	۱/۵۸۷۱	۳۰۰	۰/۸۶۷۲۹۲	۰/۸۶۷۲۹۲	۰/۸۶۷۲۹۲	۱/۶۱۸	۱/۳۱
۱۸	۱۶۰	۲۵۰	۰/۶۰۷۴۶/۱۶	۰/۶۰۷۴۶/۱۶	۰/۶۰۷۴۶/۱۶	۱/۵۷۶	۶/۳	۰/۸۶۷۲۹۲	۰/۸۶۷۲۹۲	۰/۸۶۷۲۹۲	۱/۸۳۵	۶/۳	۰/۸۶۷۲۹۲	۰/۸۶۷۲۹۲	۰/۸۶۷۲۹۲	۳/۱۳۳	۳/۰
۱۹	۱۹۰	۱۰۰	۰/۰۷۹۹۷۵	۰/۰۷۹۹۷۵	۰/۰۷۹۹۷۵	۰/۷۷۶	۱۵/۱۸	۰/۳۸۱۵۸۸	۰/۳۸۱۵۸۸	۰/۳۸۱۵۸۸	۰/۶۶۶	۱۳۰/۹/۵	۰/۶۶۶	۰/۶۶۶	۱/۵۳۴	۲/۸۳	
۲۰	۱۹۰	۱۳۰	۰/۳۸۸۲۴	۰/۳۸۸۲۴	۰/۳۸۸۲۴	۱/۴۱۹	۶/۳۳	۰/۶۶۶۹۱	۰/۶۶۶۹۱	۰/۶۶۶۹۱	۰/۶۶	۱/۹۴	۰/۶۶۶۹۱	۰/۶۶۶۹۱	۱/۳۰۹	۳/۴۱	
۲۱	۱۹۰	۱۶۰	۰/۵۵۲۸۲	۰/۵۵۲۸۲	۰/۵۵۲۸۲	۳/۱۶۲	۱۴/۳	۰/۶۶۶۹۲	۰/۶۶۶۹۲	۰/۶۶۶۹۲	۱/۳۷۱۲	۱۰/۴۹	۰/۶۶۶۹۲	۰/۶۶۶۹۲	۲/۵۵۶	۱/۰	
۲۲	۱۹۰	۱۹۰	۰/۷۵۹۴۵	۰/۷۵۹۴۵	۰/۷۵۹۴۵	۴/۱۲۵	۱/۳۱	۰/۷۵۹۴۵	۰/۷۵۹۴۵	۰/۷۵۹۴۵	۱/۴۳۳۲	۳۰۰	۰/۷۵۹۴۵	۰/۷۵۹۴۵	۲/۱۱۳	۱/۰۶	
۲۳	۱۹۰	۲۲۰	۰/۸۱۷۲۶۴	۰/۸۱۷۲۶۴	۰/۸۱۷۲۶۴	۳/۱۴۷	۰/۳۱	۰/۸۱۷۲۶۴	۰/۸۱۷۲۶۴	۰/۸۱۷۲۶۴	۱/۷۱۶۹	۰/۸۴	۰/۸۱۷۲۶۴	۰/۸۱۷۲۶۴	۳/۴۴۷	۵/۰	
۲۴	۱۹۰	۲۵۰	۰/۸۱۷۲۶۴	۰/۸۱۷۲۶۴	۰/۸۱۷۲۶۴	۳/۱۴۷	۰/۳۷	۰/۸۱۷۲۶۴	۰/۸۱۷۲۶۴	۰/۸۱۷۲۶۴	۲/۱۵۷۲	۰/۷۵	۰/۸۱۷۲۶۴	۰/۸۱۷۲۶۴	۳/۹۳۸	۱/۱۰	
۲۵	۲۲۰	۱۰۰	۰/۰۷۹۹۷۵	۰/۰۷۹۹۷۵	۰/۰۷۹۹۷۵	۰/۷۸۵	۱۵/۱۳	۰/۴۶۷۹	۰/۴۶۷۹	۰/۴۶۷۹	۰/۷۴۶۳	۲۸/۸۵	۰/۴۶۷۹	۰/۴۶۷۹	۰/۹۸۴	۰/۳۱	
۲۶	۲۲۰	۱۳۰	۰/۳۸۸۲۴	۰/۳۸۸۲۴	۰/۳۸۸۲۴	۱/۴۳۰	۶/۳۲	۰/۵۸۶۷۸	۰/۵۸۶۷۸	۰/۵۸۶۷۸	۱/۱۱۳۹	۳/۱۷	۰/۵۸۶۷۸	۰/۵۸۶۷۸	۲/۶۰۳	۳/۰۲	
۲۷	۲۲۰	۱۶۰	۰/۵۵۲۸۲	۰/۵۵۲۸۲	۰/۵۵۲۸۲	۲/۱۶۳	۱۹/۶	۰/۷۵۹۴۵	۰/۷۵۹۴۵	۰/۷۵۹۴۵	۱/۴۷۵۱	۳۰۰	۰/۷۵۹۴۵	۰/۷۵۹۴۵	۲/۹۱۷	۰/۶	
۲۸	۲۲۰	۱۹۰	۰/۷۵۹۴۵	۰/۷۵۹۴۵	۰/۷۵۹۴۵	۲/۹۰	۰/۵۸	۰/۸۸۰۷۲	۰/۸۸۰۷۲	۰/۸۸۰۷۲	۱/۵۵۹۷	۱/۰۶	۰/۸۸۰۷۲	۰/۸۸۰۷۲	۳/۳۲۴	۰/۳۱	
۲۹	۲۲۰	۲۲۰	۰/۸۱۷۲۶۴	۰/۸۱۷۲۶۴	۰/۸۱۷۲۶۴	۴/۰۳۷	۱/۱۶	۰/۹۰۵۲۵	۰/۹۰۵۲۵	۰/۹۰۵۲۵	۲/۱۶۹۸	۱۰/۲۶	۰/۹۰۵۲۵	۰/۹۰۵۲۵	۳/۸۹۵	۲/۳۱	



ادامه جدول (۹): مقایسه نتایج الگوریتم GW با روش‌های دیگران برای P7, P6 و P8

C	W	P6					P7					P8					
		R <sub>GW</sub>	R <sub>ILP</sub>	R <sub>MWO2</sub>	T <sub>GW</sub>	T <sub>ILP</sub>	R <sub>GW</sub>	R <sub>ILP</sub>	R <sub>MWO2</sub>	T <sub>GW</sub>	T <sub>ILP</sub>	T <sub>ILP</sub>	T <sub>ILP</sub>	T <sub>ILP</sub>	T <sub>ILP</sub>		
۳۰	۲۲۰	۲۵۰	۰/۹۶۶۷۱۷	۰/۹۰۰۰۰۶	۰/۹۱۶۷۱۷	۲/۱۵۲	۰/۳۲	۰/۹۲۲۹۰۹	۰/۹۲۵۳۵	۰/۹۲۲۰۲	۲/۴۸۸	۳۰۰	۰/۹۶۶۴۷	۰/۹۷۰۰۵	۰/۹۶۷۷۹	۴/۵۲۳	۷/۰۹
۳۱	۲۵۰	۱۰۰	۰/۰۷۹۹۷۵	۰/۰۸۰۹۱	۰/۰۸۰۹۱	۰/۷۷۷	۱/۵۱۵	۰/۵۷۳۵۱	۰/۵۷۵۰۷	۰/۵۴۵۵۷	۶/۵۰۶	۱/۰۴	۰/۵۹۲۳۱	۰/۵۹۵۹۲	۰/۶۳۰۹۰	۰/۹۸۲	۰/۳۱
۳۲	۲۵۰	۱۳۰	۰/۲۸۸۱۷	۰/۳۸۸۳۴	۰/۳۸۵۹۵	۱/۴۲۰	۶/۳۲	۰/۷۱۱۱۲۲	۰/۷۱۱۲۹	۰/۷۱۱۷۲	۱/۳۱۷۸	۳۰۰	۰/۵۵۳۰۳۲	۰/۵۷۷۹۳	۰/۴۷۷۴۴	۲/۹۴	۰/۹۶
۳۳	۲۵۰	۱۶۰	۰/۵۹۵۲۸۲	۰/۶۱۵۹۲	۰/۶۰۳۷۱	۲/۱۶۱	۱۹/۸۹	۰/۸۷۳۱۲	۰/۸۷۴۲۹	۰/۸۷۴۴۷	۱/۵۸۴	۰/۳۴	۰/۹۱۲۴۵۷	۰/۹۱۴۸۱	۰/۹۱۳۴۵	۳/۳۴۶	۰/۹۶
۳۴	۲۵۰	۱۹۰	۰/۷۹۳۸۶۷	۰/۸۰۷۰۷	۰/۷۹۸۳۴	۲/۹۸۸	۰/۵۸	۰/۹۰۲۰۷۴	۰/۹۰۳۸۹	۰/۹۰۱۷۱	۱/۷۳۴۴	۴/۳۱	۰/۹۳۱۷۸۸	۰/۹۴۴۰۶	۰/۹۴۳۸۵	۲/۶۷۸	۰/۵۲
۳۵	۲۵۰	۲۳۰	۰/۸۷۷۴۷	۰/۸۰۶۰۱	۰/۸۸۵۱۱	۳/۱۳۱	۰/۹۸	۰/۹۳۲۰۳	۰/۹۳۳۴۴	۰/۹۳۳۸۸	۲/۲۷۷۹	۶/۳۱	۰/۹۶۵۹۵۰	۰/۹۶۵۵۵	۰/۹۶۴۰۱	۴/۴۱۲	۱/۹۰
۳۶	۲۵۰	۲۵۰	۰/۹۳۰۲	۰/۹۳۰۶۶	۰/۹۲۹۵۷	۵/۳۳۵	۰/۶	۰/۹۳۹۵۶	۰/۹۴۰۹۷	۰/۹۴۰۸۰	۲/۵۵۱۹	۲۷۷/۳۳	۰/۹۷۹۸۹۳	۰/۹۸۰۰۷	۰/۹۸۰۳۱	۴/۹۶۱	۳/۱۸
					AVT	۲/۱۲۳	۷۸/۹۹۶				۱/۳۳۸	۱۱۰/۶۹			۲/۵۳		۲۹/۹۵۰

GW و مقایسه آن با نتایج بیلینون [۴۰] در جدول (۱۰) آمده است.

مشاهده می‌شود که در همه حالت‌ها الگوریتم GW از نظر کیفیت جواب تولیدشده بر الگوریتم ILP که توسط بیلینون ارائه گردیده، برتری دارد. زمان نیز با لحاظ نوع رایانه‌های مورد استفاده، کاهش قابل توجهی داشته است.

جدول (۱۰): مقایسه نتایج GW با الگوریتم ILP برای مسئله P7

I	C	R <sub>ILP</sub>	R <sub>GW</sub>	T <sub>ILP</sub>	T <sub>GW</sub>
۹	۱۰۰	۰/۹۹۳۲۷۴	۰/۹۹۳۳۰۸۵۰	۱/۶۲	۰/۰۰۶
۲	۱۳۰	۰/۹۹۹۴۰۶	۰/۹۹۹۴۰۹۷۰	۱/۱۲	۰/۰۰۸
۳	۱۶۰	۰/۹۹۹۹۴۶	۰/۹۹۹۹۴۸۵۱	۱/۵۲	۰/۰۰۷
۴	۱۹۰	۰/۹۹۹۹۹۵	۰/۹۹۹۹۹۵۱۷	۱/۱۲	۰/۰۰۸
۵	۲۲۰	۰/۹۹۹۹۹۸	۰/۹۹۹۹۹۹۵۴	۱/۶۳	۰/۰۱۶
۶	۲۵۰	۰/۹۹۹۹۹۷	۰/۹۹۹۹۹۹۹۴	۱/۶۱	۰/۰۱۶

این مقایسه نشان می‌دهد که جواب‌های GW برای P7, P6 و P8 در ۱۶ مورد بهتر از بهترین جواب‌هایی است که توسط بیلینون با الگوریتم ILP به دست آمده، در ۱۰ مورد مساوی آن‌ها و در سایر موارد نیز بسیار نزدیک به آن‌ها است. با در نظر گرفتن نوع رایانه‌های مورد استفاده متوسط زمان صرف شده برای اجرای GW بر روی ۱۰۸ حالت برابر ۱/۸۷ ثانیه و متوسط زمان اجرای الگوریتم ILP، ۷۳/۶۹ ثانیه بوده است. مقایسه نتایج جواب‌های GW با روش کویت و کوناک نشان می‌دهد که جواب‌های GW در ۷۲ مورد بهتر از روش MWO2 ارائه شده توسط آن‌ها بوده است و بنابراین کاملاً بر روش MWO2 برتری دارد. زمان اجرای این روش گزارش نشده است.

از بین این سه مسئله، مسئله P7 مشکل‌ترین مسئله برای حل است. بیلینون برای نشان دادن این پیچیدگی، این مسئله را بدون محدودیت بر روی وزن حل و نتایج و زمان آن را گزارش کرده است. نتایج انجام کار مشابهی با استفاده از الگوریتم

جدول (۱۱): اطاعات مسئله آزمایشی P9

Subsystem			Component choice 1			Component choice 2			Component choice 3			Component choice 4		
i	Ki	Type	$\lambda_{ij}$	$C_{ij}$	$W_{ij}$	$\lambda_{ij}$	$C_i$	$W_{ij}$	$\lambda_{ij}$	$C_i$	$W_{ij}$	$\lambda_{ij}$	$C_{ij}$	$W_{ij}$
۱	۱	A	۰/۰۰۱۰۵۴	۱	۳	۰/۰۰۰۷۲۶	۱	۴	۰/۰۰۰۹۴۳	۲	۲	۰/۰۰۰۵۱۳	۲	۵
۲	۲	A	۰/۰۰۰۵۱۳	۲	۸	۰/۰۰۰۶۱۹	۱	۱۰	۰/۰۰۰۷۲۶	۱	۹	-	-	-
۳	۱	A	۰/۰۰۱۶۲۵	۲	۷	۰/۰۰۱۰۵۴	۳	۵	۰/۰۰۱۳۹۳	۱	۶	۰/۰۰۰۸۳۴	۴	۴
۴	۲	A	۰/۰۰۱۸۶۳	۳	۵	۰/۰۰۱۳۹۳	۴	۶	۰/۰۰۱۶۲۵	۵	۴	-	-	-
۵	۱	A	۰/۰۰۰۶۱۹	۲	۴	۰/۰۰۰۷۲۶	۲	۳	۰/۰۰۰۵۱۳	۳	۵	-	-	-
۶	۲	A	۰/۰۰۰۱۰۱	۳	۵	۰/۰۰۰۲۰۲	۳	۴	۰/۰۰۰۳۰۵	۲	۵	۰/۰۰۰۴۰۸	۲	۴
۷	۱	A	۰/۰۰۰۹۴۳	۴	۷	۰/۰۰۰۸۳۴	۴	۸	۰/۰۰۰۶۱۹	۵	۹	-	-	-
۸	۲	S	۰/۰۰۲۱۰۷	۳	۴	۰/۰۰۱۰۵۴	۵	۷	۰/۰۰۰۹۴۳	۶	۶	-	-	-
۹	۳	S	۰/۰۰۰۳۰۵	۲	۸	۰/۰۰۰۱۰۱	۳	۹	۰/۰۰۰۴۰۸	۴	۷	۰/۰۰۰۹۴۳	۳	۸
۱۰	۳	S	۰/۰۰۱۸۶۳	۴	۶	۰/۰۰۱۶۲۵	۴	۵	۰/۰۰۱۰۵۴	۵	۶	-	-	-
۱۱	۳	S	۰/۰۰۰۶۱۹	۳	۵	۰/۰۰۰۵۱۳	۴	۶	۰/۰۰۰۴۰۸	۵	۶	-	-	-
۱۲	۱	S	۰/۰۰۲۳۵۷	۲	۴	۰/۰۰۱۹۸۵	۳	۵	۰/۰۰۱۶۲۵	۴	۶	۰/۰۰۱۰۵۴	۵	۷
۱۳	۲	S	۰/۰۰۰۲۰۲	۲	۵	۰/۰۰۰۱۰۱	۳	۵	۰/۰۰۰۳۰۵	۲	۶	-	-	-
۱۴	۳	S	۰/۰۰۱۰۵۴	۴	۶	۰/۰۰۰۸۳۴	۴	۷	۰/۰۰۰۵۱۳	۵	۶	۰/۰۰۰۱۰۱	۶	۹

نوع افزونه یکسان باشد، با در نظر گرفتن A به‌عنوان مجموعه زیرسیستم‌ها با استراتژی فعال، S به‌عنوان مجموعه زیرسیستم‌های با استراتژی سرد، t زمان کارکرد سیستم و  $Z_i$  به‌عنوان شماره گزینه انتخاب‌شده برای زیرسیستم  $i$  می‌توان این مسئله را به شکل دسته روابط (۳۵) تا (۳۹) فرمول‌بندی کرد که البته تابع توزیع شکست، نمایی بوده و در آن  $\lambda_{ij}$  نرخ شکست در واحد زمان است [۴۲]. اگر  $t = 100$  در نظر گرفته شود، قابلیت اطمینان هر قطعه مشابه P5 خواهد شد. کویت و لیو یک حالت خاص مسئله را ( $C=130, W=170$ ) با برنامه‌ریزی خطی (LP) حل کرده‌اند و جواب بهینه‌ی  $R=0/4466$  را به‌دست آورده‌اند [۴۲]. آنها در پژوهش خود بیان کردند که روش ارائه‌شده عملاً برای مسائل بزرگ با تعداد متغیرها زیاد کارا نیست. ضمن اینکه گزارشی هم از زمان اجرای برنامه ارائه نکردند.

$$Max. R(t) = \prod_{i \in A} \sum_{l=k_i}^{n_i} \binom{n_i}{l} (\exp(-\lambda_{i,z_i} t))^l \times (1 - \exp(-\lambda_{i,z_i} t))^{n_i-l} \quad (35)$$

$$\times \prod_{i \in S} \exp(-\lambda_{i,z_i} k_i t) \sum_{l=0}^{n_i-k_i} \frac{(-\lambda_{i,z_i} k_i t)^l}{l!}$$

Sub.To:

$$\sum_{i=1}^s \sum_{j=1}^{m_i} c_{ij} x_{ij} \leq C \quad (36)$$

$$\sum_{i=1}^s \sum_{j=1}^{m_i} w_{ij} x_{ij} \leq W \quad (37)$$

$$K_i \leq \sum_{j=1}^{m_i} x_{ij} \leq n_{max_i} \quad i = 1, \dots, S \quad (38)$$

$$x_{ij} \in \{0, 1, 2, \dots, n_{max_i}\}, i = 1, 2, \dots, S, j = 1, \dots, m_i \quad (39)$$

۴-۶- مسئله آزمایشی P9

اطلاعات عددی P9 برای مسئله‌ای که ساختار کلی آن مشابه P5 است در جدول (۱۱) نشان داده شده است. در مسائل قبلی برای کلیه زیرسیستم‌ها استراتژی افزونگی فعال در نظر گرفته شده است. همچنین برای کلیه زیرسیستم‌ها  $K_i=1$  بود. در مسئله P9 برای زیرسیستم‌های مختلف استراتژی‌های مختلف اما از پیش تعیین شده وجود دارد و بعلاوه  $K_i$  مقادیر متفاوتی دارد. بنابراین مسئله P9 به شرایط واقعی نزدیک‌تر است.

جدول (۱۲): مقایسه جواب الگوریتم GW و جواب بهینه  $W=170$  و  $C=130$ .

i	الگوریتم LP		الگوریتم GW	
	$Z_i$	$n_i$	$Z_i$	$\lambda_i$
۱	۳	۲	۳	۲
۲	۱	۲	۱	۲
۳	۴	۱	۴	۱
۴	۳	۳	۳	۳
۵	۲	۱	۲	۱
۶	۲	۲	۲	۲
۷	۲	۱	۲	۱
۸	۱	۳	۱	۳
۹	۳	۳	۳	۳
۱۰	۲	۴	۲	۴
۱۱	۱	۴	۱	۴
۱۲	۱	۲	۱	۲
۱۳	۲	۲	۲	۲
۱۴	۳	۴	۳	۴

وقتی که هزینه و وزن و خطای سویچینگ ناچیز و مسئله از

## ۵- نتیجه‌گیری

در این مقاله یک الگوریتم جدید، تحت عنوان GW، برای حل مسائل RAP ارائه شد. در این الگوریتم تلفیق یک روش جدید برای وزن دهی به هزینه‌ها و یک شاخص حریصانه ابتکاری جدید برای انتخاب‌ها در هر دور چرخه تکرار الگوریتم، باعث می‌گردد جواب الگوریتم در هر دور چرخه الگوریتم دائماً بهتر گردد. محدودیت منابع مسئله هم، تعیین‌کننده‌ی نقطه توقف الگوریتم است. پیامد این سازوکارها سرعت و دقت بالای الگوریتم در حل مسائل متنوع است. ارزیابی الگوریتم ارائه‌شده از طریق اجرای آن بر روی ۹ مسئله آزمایشی با مشخصات و پیکربندی‌های بسیار متفاوت انجام گرفت. نتایج نشان می‌دهد این الگوریتم بدون اعمال هیچ‌گونه تغییر ساختاری یا پارامتری، قادر به حل انواع مسائل RAP با پیکربندی‌های گوناگون است، به‌نحوی که جواب‌های حاصل از آن برابر یا بسیار نزدیک و به جواب بهینه و یا بهترین جواب‌های موجود بوده و حتی در مواردی بهتر از بهترین جواب موجود می‌باشد. در مجموع، انعطاف‌پذیری، کارایی و منطق ساده و ملموس این الگوریتم، همچنین قدرت آن برای حل انواع مسائل RAP مزیت آن را به بسیاری از دیگر الگوریتم‌ها نشان می‌دهد.

## مراجع

- [1] Kuo, W., Prasad, V.R., (2000). "An annotated overview of system-reliability optimization", IEEE Transactions on Reliability, 49(2): 176-187.
- [2] Chern, M.S., (1992). "On the computational complexity of reliability redundancy allocation in a series system", Operations Research Letters, 11(5): 309-315.
- [3] Coit, D.W., Konak, A., (2006). "Multiple Weighted Objectives Heuristic for the Redundancy Allocation Problem", IEEE Transactions on Reliability, 55(3): 551-558.
- [4] Hsieh, Y.C., (2003). "A linear approximation for redundant reliability problems with multiple component choices", Computers & Industrial Engineering, 44(1): 91-103.
- [5] Bulfin, R.L. and C.Y. Liu. (1985). "Optimal Allocation of Redundant Components for Large Systems", IEEE Transactions on Reliability, 34(3): 241-247.
- [6] Misra, K.B., Sharma, U., (1991). "An efficient algorithm to solve integer-programming problems arising in system-reliability design", IEEE Transactions on Reliability, 40(1): 81-91.
- [7] Onishi, J., Kimura, S., James, R.J.W., Nakagawa, T., (2007). "Solving the Redundancy Allocation Problem with a Mix of Components Using the Improved Surrogate Constraint Method", IEEE Transactions on Reliability, 56(1): 94-101.
- [8] Bellman, R., Dreyfus, S., (1958). "Dynamic Programming and the Reliability of Multicomponent Devices", Operations Research, 6(2): 200-206.

الگوریتم GW برای این مسئله نیز اجرا شده است. جواب GW برابر با جواب بهینه  $R_S=0/4466$  و  $C_S=116$  و  $W_S=170$  و در مدت‌زمان  $0/012$  ثانیه به‌دست آمده است. جدول (۱۲) نتایج دو الگوریتم را نشان می‌دهد. ترکیب همه زیرسیستم‌ها در هر دو الگوریتم دقیقاً برابر است. با استفاده از الگوریتم GW مسائل در کل حالت‌ها حل شده‌اند که جواب‌های به‌دست‌آمده در جدول (۱۳) آمده است.

جدول (۱۳): نتایج الگوریتم GW برای مسئله P9

	W	R	T
۱	۱۹۱	۰/۶۴۱۶۵۰	۰/۰۲۴۵
۲	۱۹۰	۰/۶۲۸۸۱۹	۰/۰۲۳۷۵
۳	۱۸۹	۰/۶۲۸۸۱۹	۰/۰۲۱۵
۴	۱۸۸	۰/۶۱۴۲۹۴	۰/۰۲۱۲۵
۵	۱۸۷	۰/۶۰۳۹۲۵	۰/۰۲۰۷۵
۶	۱۸۶	۰/۵۹۱۸۴۸	۰/۰۲
۷	۱۸۵	۰/۵۹۱۸۴۸	۰/۰۱۹۲۵
۸	۱۸۴	۰/۵۷۹۲۵۹	۰/۰۱۹۵
۹	۱۸۳	۰/۵۷۲۹۸۰	۰/۰۱۸۵
۱۰	۱۸۲	۰/۵۶۰۲۴۵	۰/۰۱۸
۱۱	۱۸۱	۰/۵۴۳۸۵۴	۰/۰۱۷
۱۲	۱۸۰	۰/۵۳۸۰۶۶	۰/۰۱۶۷۵
۱۳	۱۷۹	۰/۵۲۷۳۰۶	۰/۰۱۶
۱۴	۱۷۸	۰/۵۲۷۳۰۶	۰/۰۱۵۷۵
۱۵	۱۷۷	۰/۵۱۶۰۹۰	۰/۰۱۵۵
۱۶	۱۷۶	۰/۵۱۰۴۹۵	۰/۰۱۴۵
۱۷	۱۷۵	۰/۴۸۸۲۳۹	۰/۰۱۴۲۵
۱۸	۱۷۴	۰/۴۸۸۲۳۹	۰/۰۱۴۵
۱۹	۱۷۳	۰/۴۷۷۸۵۴	۰/۰۱۳۲۵
۲۰	۱۷۲	۰/۴۷۲۶۷۳	۰/۰۱۳
۲۱	۱۷۱	۰/۴۵۶۲۸۶	۰/۰۱۲۵
۲۲	۱۷۰	۰/۴۴۶۵۸۱	۰/۰۱۲
۲۳	۱۶۹	۰/۴۴۱۷۳۹	۰/۰۱۱۵
۲۴	۱۶۸	۰/۴۲۳۱۲۰	۰/۰۱۱۷۵
۲۵	۱۶۷	۰/۴۱۴۱۲۰	۰/۰۱۰۷۵
۲۶	۱۶۶	۰/۴۰۹۶۳۱	۰/۰۱۰۲۵
۲۷	۱۶۵	۰/۳۹۵۴۲۹	۰/۰۰۹۷۵
۲۸	۱۶۴	۰/۳۸۷۰۱۸	۰/۰۰۹۷۵
۲۹	۱۶۳	۰/۳۸۲۸۲۳	۰/۰۰۸۵
۳۰	۱۶۲	۰/۳۴۹۲۶۲	۰/۰۰۸۵
۳۱	۱۶۱	۰/۳۴۵۴۷۶	۰/۰۰۷۷۵
۳۲	۱۶۰	۰/۳۳۳۴۹۹	۰/۰۰۷۲۵
۳۳	۱۵۹	۰/۳۲۶۴۰۵	۰/۰۰۶۷۵

- Part A: Systems and Humans, 37(2): 143-156.
- [23] Cao, D., Murat, A., Chinnam, R.B., (2013). "Efficient exact optimization of multi-objective redundancy allocation problems in series-parallel systems", *Reliability Engineering & System Safety*, 111: 154-163.
- [24] Garg, H., Sharma, S., (2013). "Multi-objective reliability-redundancy allocation problem using particle swarm optimization", *Computers & Industrial Engineering*, 64(1): 247-255.
- [25] Garg, H., (2015). "An approach for solving constrained reliability-redundancy allocation problems using cuckoo search algorithm", *Beni-Suef University Journal of Basic and Applied Sciences*, 4(1): 14-25.
- [26] Abouei Ardakan, M., Zeinal Hamadani, A., (2014). "Reliability optimization of series-parallel systems with mixed redundancy strategy in subsystems", *Reliability Engineering & System Safety*, 130: 132-139.
- [27] Liu, Y., Qin, G., (2014). "A Modified Particle Swarm Optimization Algorithm for Reliability Redundancy Optimization Problem", *Journal of Computers*, Vol. 9: 2124-2131.
- [28] Huang, C.L., (2015). "A particle-based simplified swarm optimization algorithm for reliability redundancy allocation problems", *Reliability Engineering & System Safety*, 142: 221-230.
- [29] Kong, X., Gao, L., Ouyang, H., Li, S., (2015). "Solving the redundancy allocation problem with multiple strategy choices using a new simplified particle swarm optimization", *Reliability Engineering & System Safety*, 144: 147-158.
- [30] Zhang, E., Chen, Q., (2016). "Multi-objective reliability redundancy allocation in an interval environment using particle swarm optimization", *Reliability Engineering & System Safety*, 145: 83-92.
- [31] Feizabadi, M., Jahromi, A.E., (2017). "A new model for reliability optimization of series-parallel systems with non-homogeneous components", *Reliability Engineering & System Safety*, 157: 101-112.
- [32] Ziaei, M., Hojati, F., (2014). "Using a heuristic algorithm based on greedy method for reliability optimization of a series system with multiple choice and limited budget", in 3th international reliability engineering conference.
- [33] Ahmadizar, F., Soltanpanah, H., (2011). "Reliability optimization of a series system with multiple-choice and budget constraints using an efficient ant colony approach", *Expert Systems with Applications*, 38(4): 3640-3646.
- [34] Amari, S.V., Dill, G., (2010). "Redundancy optimization problem with warm-standby redundancy", in 2010 Proceedings - Annual Reliability and Maintainability Symposium (RAMS).
- [35] Cormen, T.H., Charles, E. Leiserson. Ronald L. Rivest. (2009). *Introduction to Algorithms*, Third Edition. The MIT Press.
- [36] Ushakov, I., (2013). "Optimal Resource
- [9] Fyffe, D.E., Hines, W.W., Lee, N.K., (1968). "System Reliability Allocation and a Computational Algorithm", *IEEE Transactions on Reliability*, R-17(2): 64-69.
- [10] Nakagawa, Y., Miyazaki, S., (1981). "Surrogate Constraints Algorithm for Reliability Optimization Problems with Two Constraints", *IEEE Transactions on Reliability*, R-30(2): 175-180.
- [11] Nakagawa, Y., Nakashima, K., (1977). "A Heuristic Method for Determining Optimal Reliability Allocation", *IEEE Transactions on Reliability*, R-26(3): 156-161.
- [12] Dinghua, S., (1987). "A New Heuristic Algorithm for Constrained Redundancy-Optimization in Complex Systems", *IEEE Transactions on Reliability*, R-36(5): 621-623.
- [13] Agarwal, M., Gupta, R., (2005). Penalty function approach in heuristic algorithms for constrained redundancy reliability optimization, *IEEE Transactions on Reliability*, 54(3): 549-558.
- [14] Kumar, P., Chaturvedi, D.K., Pahuja, G.L., (2010). "Heuristic methods for solving redundancy allocation in complex systems", *International Journal of Reliability and Safety*, 4(2-3): 285-298.
- [15] Coit, D.W., Smith, A.E., (1996). "Reliability optimization of series-parallel systems using a genetic algorithm", *IEEE Transactions on Reliability*, 45(2): 254-266.
- [16] Levitin, G., Lisnianski, A., Ben-Haim, H., Elmakis, D., (1998). "Redundancy optimization for series-parallel multi-state systems", *IEEE Transactions on Reliability*, 47(2): 165-172.
- [17] Shelokar, P.S., Jayaraman, V.K., Kulkarni, B.D., (2002). "Ant algorithm for single and multiobjective reliability optimization problems", *Quality and Reliability Engineering International*, 18(6): 497-514.
- [18] Zhao, J.H., Liu, Z., Dao, M.T., (2007). "Reliability optimization using multiobjective ant colony system approaches", *Reliability Engineering & System Safety*, 92(1): 109-120.
- [19] Kulturel-Konak, S., Smith, A.E., Coit, D.W., (2003). "Efficiently Solving the Redundancy Allocation Problem Using Tabu Search", *IEEE Transactions*, 35(6): 515-526.
- [۲۰] جولای، فریبرز، زارعی‌شوریجه، محمدعلی، جویبار، سبحان. (۱۳۹۴). «توسعه یک روش برای حل مساله قابلیت اطمینان مبتنی بر ترکیب تکنیک شبیه‌سازی و الگوریتم بهینه‌سازی ازدحام ذرات در شرایط عدم قطعیت»، نشریه پژوهش‌های مهندسی صنایع در سیستم‌های تولید، ۳(۵): ۷۳-۸۹.
- [21] Ramirez-Marquez, J.E., Coit, D.W., (2004). "A heuristic for solving the redundancy allocation problem for multi-state series-parallel systems", *Reliability Engineering & System Safety*, 83(3): 341-349.
- [22] Kuo, W., Wan, R., (2007). "Recent Advances in Optimal Reliability Allocation", *IEEE Transactions on Systems, Man, and Cybernetics -*

- Allocation. 1nd ed. San Diego", USA: John Wiley & Sons Inc.
- [37] Pardeep, K., Chaturvedi, D., Pahuja, G., (2010). "An efficient heuristic algorithm for determining optimal redundancy allocation of complex networks", *Theory & applications*, 3(18): 15-28.
- [38] Jae-Hwan, K., Bong-Jin, Y., (1993). "A heuristic method for solving redundancy optimization problems in complex systems", *IEEE Transactions on Reliability*, 42(4): 572-578.
- [39] Gao, J., Shan, J., Cui, H., Li, L., (2011). "A hybrid genetic algorithm with effective local search technique", *Applied Mathematics*, 39: 4814-4817.
- [40] Billionnet, A., (2008). Redundancy Allocation for Series-Parallel Systems Using Integer Linear Programming, *IEEE Transactions on Reliability*, 57(3): 507-516.
- [41] Lee, H., Kuo, W., Ha, C., (2003). "Comparison of max-min approach and NN method for reliability optimization of series-parallel system", *Journal of Systems Science and Systems Engineering*, 12(1): 39-48.
- [42] Coit, D.W., Liu, J.C., (2000). "System Reliability Optimization With k-out-of-n Subsystems, *International Journal of Reliability*", *Quality and Safety Engineering*, 7(2): 129-142.





## Providing a New Algorithm by Combining and Improving Greedy Method and Weighed Costs for Solving Different Redundancy Allocation Problems (RAP)

M. Ziaei<sup>1,\*</sup>, F. Hojati<sup>1</sup>

<sup>1</sup> Institute of Materials and Energy, Iranian Space Research Center, Isfahan, Iran.

### ARTICLE INFO

#### Article history:

Received 10 August 2016  
Accepted ?

#### Keywords:

Reliability optimization  
redundancy allocation  
Bridge system  
Series-parallel systems

### ABSTRACT

Due to the importance of reliability in systems performance and amount and variety of its costs, system designers have more attention to the reliability optimization, especially redundancy allocation problems (RAP). Reliability optimization problems are various and NP-hard. Thus, for any kind of them, different methods have developed which are usually suitable for limited kind of these problems. This paper provides a new algorithm (GW) that by doing some heuristic improvements on greedy method and weighed costs and combining them, it can be used for RAP with different configurations, variety of components and diversity in redundancy strategy. Using a new method of weighting costs, using an innovative greedy index and a specific search mechanism in this algorithm increases its speed, accuracy, and flexibility in solving the RAP types. The algorithm abilities are shown by solving several test problems with different conditions and variety of configurations while some of them are large. Results reveal that this algorithm is able to solve various problems and produces solutions in short time that are equal or very near to optimal solutions or the best existent solutions. GW has tangible and operational logic, therefore, it can develop the practical insight of system designers.

\* Corresponding author. Mazaher Ziaei  
Tel.: 031-33222429; E-mail address: [m.ziaei@isrc.ac.ir](mailto:m.ziaei@isrc.ac.ir)